



**COWI**



# **Landsdækkende screening af geotermi i 28 fjernvarmeområder**

**Bilag 3: Områderapport for Roskilde  
(Storkøbenhavn)**



## Indholdsfortegnelse

- Introduktion
- Data for fjernvarmeområder (COWI)
- Beregning af geotermianlæg (DFG)
- Beregningsresultater vedr. indpasning af geotermi (Ea)
- Geologisk vurdering (GEUS)

## Introduktion

Dette er én ud af 28 områderapporter, som viser specifikke økonomiske og produktionsmæssige resultater for hvert enkelt område. Rapporten er et bilag til hovedrapporten "Landsdækkende screening af geotermi i 28 fjernvarmeområder", og bør læses i sammenhæng med denne, da hovedrapporten indeholder information, der er væsentlig for at forstå resultatet. Rapporten er udarbejdet for Energistyrelsen af Dansk Fjernvarmes Geotermiselskab, COWI og Ea Energianalyse i perioden efteråret 2013 til sommeren 2015.

Områderapporten indeholder den af GEUS udførte geologiske vurdering, COWIs beskrivelse af fjernvarmeområdet og den fremtidige forsyningsstruktur, Dansk Fjernvarmes Geotermiselskabs beregninger af de økonomiske og tekniske forhold i et geotermianlæg i fjernvarmeområdet, og Ea Energianalyses modelresultater fra Balmorel med varmeproduktionskapaciteter, fjernvarmeproduktion og -omkostninger over året for de fire scenarier i årene 2020, 2025 og 2035.

Resultaterne skal tages med en række forbehold.

Først og fremmest skal det understreges, at der er tale om en screening med det formål at give en indikation af mulighederne for geotermi. Der er ikke foretaget en fuldstændig analyse af den optimale fremtidige fjernvarmeforsyning i området.

Den geologiske vurdering er alene foretaget for en enkelt lokalitet, svarende til en umiddelbart vurderet fordelagtig placering af geotermianlægget. Der kan derfor ikke drages konklusioner om hele områdets geologiske potentiale og den optimale placering for et eventuelt geotermianlæg.

Modellering af områdets nuværende og forventede fremtidige fjernvarmeproduktion og -struktur er sket ud fra de data, som de var oplyst og forelå i år 2013. Endvidere indeholder optimeringsmodellen en række forudsætninger og forsimplinger, som ikke nødvendigvis afspejler de aktuelle forhold præcist. Der tages således for eksempel ikke hensyn til kapitalomkostninger for eksisterende produktionsenheder, kun for enheder modellen investerer i. Eksisterende anlæg forudsættes at kunne levetidsforlænges indtil år 2035 uden væsentlige reinvesteringer ud over normalt vedligehold. Der skal endvidere tages højde for, at resultaterne ikke er baseret på optimeringer for hver enkelt by, men en optimering for hele systemets energiomkostninger. Der er ikke udført usikkerheds- og følsomhedsberegninger for hvert område, men derimod lavet et generelt eksempel på geotermianlæggets følsomhed overfor ændringer af de vigtigste inputparametre, se afsnit 5.2 i hovedrapporten.



## MEMO

TITEL  
DATO  
TIL  
KOPI  
FRA  
PROJEKTNRStorkøbenhavn - Beskrivelse fjernvarmeområde  
5. februar 2015  
Energistyrelsen  
  
COWI (Else Bernsen/Kurt Madsen)  
A044062ADRESSE COWI A/S  
Parallelvej 2  
2800 Kongens Lyngby  
  
TLF +45 56 40 00 00  
FAX +45 56 40 99 99  
WWW cowi.dk  
  
SIDE 1/5

## 1 Storkøbenhavns fjernvarmeområde

Teksten i dette afsnit er hentet fra notatet "Screening af geotermianlæg – Afsætningsgrundlag for geotermianlæg i Roskilde ved KARA". Notatet er udarbejdet af Dansk Geotermiselskab og modtaget i COWI pr 23. januar 2015.

Uddrag af notatet er overført forholdsvis direkte til nærværende beskrivelse med i princippet samme titelnavne på de enkelte kapitler som i de øvrige byrapporter, der indgår i beskrivelserne af de enkelte fjernvarmeområder.

### 1.1 Nuværende forsyningsområde

Roskilde har et veludbygget fjernvarmenet, som er forsynet med fjernvarme fra VEKS' transmissionsnet via et antal vekslerstationer. Transmissionsledningen forbinder det storkøbenhavnske net i øst med Svogerslev i Vest. Nedenstående figur viser et udsnit af transmissionsledningen omkring Roskilde med angivelse af KARA forbrændingsanlægget, de relevante vekslerstationer og den påtænkte placering af geotermianlægget. Ud over forsyningen fra transmissionsnettet findes en række spidslastcentraler i Roskildes distributionssystem.

Drivvarme/eftervarme kan leveres fra KARA.



Figur 1: Transmissionsnet og vekslercentraler ved Roskilde.

Temperaturen i transmissionsledningen holdes høj for at øge ledningens kapacitet. Derimod er distributionen generelt interesseret i at sænke temperaturen mest muligt for at undgå unødige varmetab.

I denne sammenhæng skelnes mellem sommer- og vintertemperaturer, og følgende antages at være repræsentativt:

*Tabel 1: Temperaturforhold i transmissions- og distributionsnet.*

	Fremløb vinter <sup>1</sup> /sommer <sup>2</sup> (°C)	Returløb vinter/sommer (°C)	Max temperatur (ved spidslast)
Transmissionsnettet ved KARA	100°C / 95°C	48°C / 51°C	120°C
Distributionsnet i Roskilde <sup>3</sup>	79°C / 74°C	42°C / 46°C	95°C

Roskilde Forsyning arbejder på sigt at nedbringe såvel fremløbs- som returtemperaturer, og de anførte temperatursæt kan derfor på sigt betragtes som robuste.

## 1.2 Afsætning til transmissionsnettet

Den varmeeffekt, som på et givet tidspunkt kan produceres på KARA og et evt. fremtidigt geotermianlæg, er begrænset af afsætningen på de ovennævnte distributionsnet samt det, der kan aftages i transmissionsledningen mod øst. Den sidstnævnte afhænger dels af den hydrauliske kapacitet i transmissionsledningen, og dels af forbruget i det samlede storkøbenhavnse fjernvarmesystem.

Ifølge Varmeplan Hovedstaden 3 forventes det samlede varmegrundlag i hovedstadsområdet at vokse med ca. 10% frem mod år 2025, hvorefter varmeforbruget vil være svagt faldende. Dette fremkommer som en kombination af fjernvarmeudbygning, konverteringer samt energibesparelser. Isoleret i VEKS' område er der dog tale om en noget større stigning, særligt i den vestlige del:

---

<sup>1</sup> Middel over 5 koldeste måneder

<sup>2</sup> Middel over 5 varmeste måneder

<sup>3</sup> Oplyst af Roskilde Forsyning, Tom Jensen, 28/11 2014. Fremløbstemperatur i Svogerslev oplyses på hjemmeside til 80°C, og forventes at være tilsvarende Roskilde. Returtemperatur sommer er anslået ud fra en forskel sommer til vinter på 4 °C.

Tabel 2 Prognose for varmegrundlaget i VEKS (Nord, Vest, Køge), (VPH3)

Balmorelområde	2013	2015	2020	2025	2030	2035
DK_E_VEKN	3.996	4.321	4.625	4.703	4.520	4.347
DK_E_VEKV	4.868	5.213	6.137	6.267	6.401	6.527
DK_E_VKOG	31	230	659	810	888	962

Kapaciteten på de tre affaldsbaserede forbrændingsanlæg, der udgør prioriteret grundlast i hovedstadsområdet, antages ligesom affaldsmængderne jf. VPH3 at være nogenlunde konstante frem mod år 2035.

### 1.3 Afsætning til distributionsnettet

Den afsætning i distributionsnettet, som kan være relevant for et geotermianlæg placeret ved KARA fordeler sig på fire centraler, som vist i Figur 1 i indledningen.

Den årlige afsætning for disse er opgivet af VEKS for år 2013 samt som en prognose for perioden frem mod år 2050, svarende til de input, der er benyttet til Varmeplan Hovedstaden 3. For Svogerslev er dog angivet det aktuelle tal for år 2014.

Tabel 3: Prognose for varmegrundlaget for distributionsnet ved, og vest for KARA

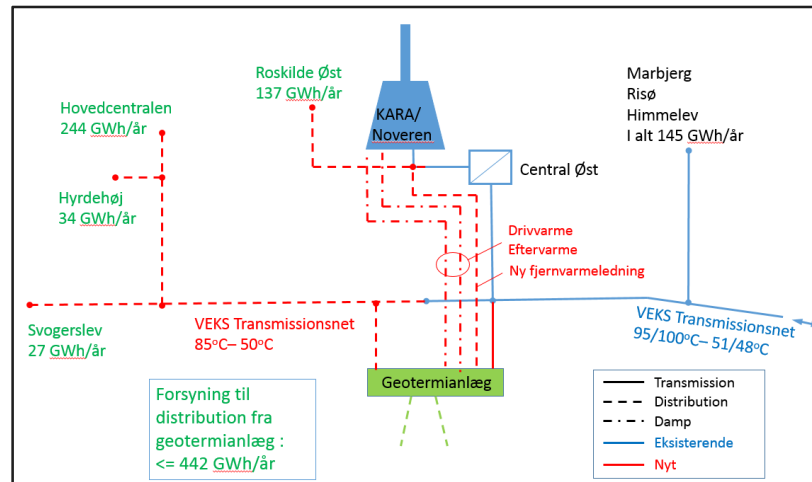
TJ/år	2013	2015	2020	2025	2050
Central Øst / Kara	554	544	494	494	494
Hyrdehøj	127	125	122	122	122
Hovedcentral	839	842	879	879	879
Svogerslev	97	97	97	97	97
I alt	1617	1608	1592	1592	1592

Som det ses, forventes varmegrundlaget at være nogenlunde konstant. Roskilde Forsyning nævner dog, at der er udbygningsmuligheder syd for byen, som kan forøge ovennævnte grundlag (Vindinge og Vor Frue).

### 1.4 Fremtidig forsyningsstruktur

Der er i notatet fra Dansk Geotermianlæg beskrevet et antal løsningsforslag. Efterfølgende er beskrevet kombinationen alternativ D+B.

Denne tager udgangspunkt i en placering af geotermianlægget vest for KARA og varmeleverancer via forsyning af drivvarme fra KARA og retur via to nye fjernvarmeledninger jf. efterfølgende figur:



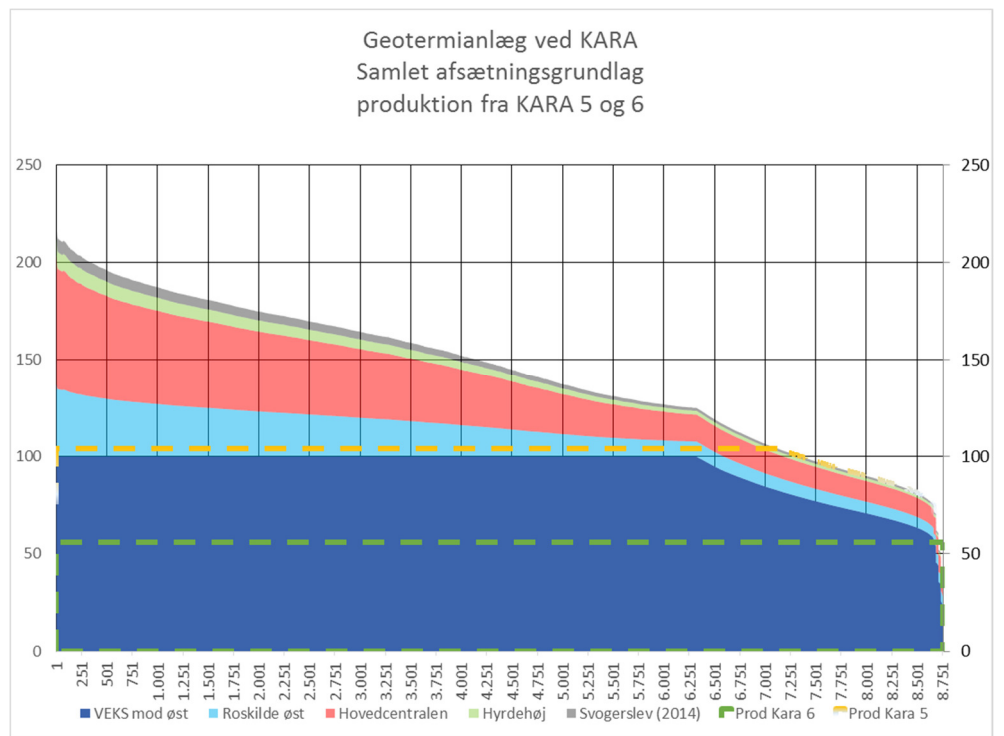
Figur 3. Principdiagram geotermianlæg

Med denne løsning vil der kunne forsynes til fire distributionsnet med op til 75 MW fra geotermianlægget ved distributionstemperatur. Ved højere effektbehov må temperaturen øges ved hjælp af eftervarme og/eller varme fra transmissionsledningen. Når begrænsningen i max effekt lægges ind i varighedskurven vil det svare til at op til omkring 350 GWh/år kan overføres fra geotermianlægget ved distributionstemperatur.

Det skal bemærkes, at denne effekt for geotermianlægget ikke nødvendigvis er optimal.

Efterfølgende varighedskurve illustrerer det mulige afsætningsgrundlag for et geotermianlæg





Figur 4 Muligt afsætningsgrundlag ved Roskilde og produktion fra KARA 5 og 6

Med VPH3s antagelse om et generelt øget varmegrundlag i det samlede system frem mod år 2025 er ovennævnte formentlig en lettere konservativ betragtning, men VPH3 forudsiger til gengæld også, at varmebehovet efter 2025 vil aftage igen, så det omkring 2035 svarer til 2014.



Projekt: Landsdækkende screening af geotermi i fjernvarmesystemerne

Til: Ea Energianalyse & COWI

Kopi: GEUS

Fra: Birte Røgen, Malthe Jacobsen & Asger Løngreen, Dansk Fjernvarmes Geotermiselskab

Dato: 16. marts 2015

Emne: Beregning af et geotermianlæg i Storkøbenhavn (Roskilde)

## 1 Indledning

Dansk Fjernvarmes Geotermiselskab, COWI og Ea Energianalyse har for Energistyrelsen udført beregninger af de økonomiske og tekniske forhold i et geotermianlæg i Roskilde. Beregningerne er udført som en del af et større analysearbejde omfattende 28 fjernvarmeområder i Danmark.

Anlægsberegningerne er udført på baggrund af geologiske data leveret af De Nationale Geologiske Undersøgelser for Danmark og Grønland (GEUS) (ref.: Roskilde\_2014\_12\_17.docx) og data for fjernvarmeforsyningen i Roskilde leveret af COWI på baggrund af forskellige datakilder, herunder data indhentet hos Roskilde (ref.: Beskrivelse af fjernvarmeområder gruppe 4, februar 2015), samt data leveret af Hovedstadsområdets Geotermiske Samarbejde (HGS).

Der tages udgangspunkt i en placering af et eventuelt geotermianlæg tæt ved Navervej 12, 4000 Roskilde ved affaldskraftvarmeanlægget KARA. Afstanden fra KARA til den forventede placering for geotermianlægget er ca. 300 m.

## 2 De geologiske forudsætninger

Geologisk set ligger Roskilde i det Danske Bassin, et indsynkningsområde med tykke aflejringer, hvoraf nogle lag anses som egnede for geotermisk varmeproduktion. GEUS har vurderet at sandsten fra Gassum Formationen udgør det bedste potentielle geotermiske reservoir ved Roskilde. Der er risiko for forkastninger i området, hvor der blandt andet er identificeret den markante Roskilde Forkastningen omtrent 4 km fra KARA. Orienteringen af denne og andre mindre forkastninger er ikke klarlagt ud fra de eksisterende data, og der er derfor risiko for forkastninger ved KARA.

Usikkerheden på de geologiske parametre er lidt høj, da der er langt til eksisterende borer og seismiske linjer. De geologiske data, der indgår i beregningerne, er vist i Tabel 1.

Formation		Gassum Fm
Terrænkote	moh	51
Dybde@midt reservoir	mut TVD	1624
Temperatur@midt reservoir	°C	52
Tykkelse af formation	m TVT	125
Tykkelse af potentielt reservoirsand	m TVT	59

Transmissivitet	Dm	36
Seismik-anbefaling	km	25-75

Tabel 1: Geologiske reservoirdata.

(moh: meter over havniveau; mut: meter under terræn; TVD: true vertical depth; TVT: true vertical thickness; Dm: Darcy meter)

### 3 Forudsætninger for fjernvarmesystemet

Forudsætningerne for det respektive fjernvarmesystem er beskrevet i rapporten "Beskrivelse af fjernvarmeområder gruppe 4, februar 2015". Data fra denne rapport er sammenfattet i Tabel 2 til brug for anlægsberegningerne. Der tages udgangspunkt i, at varmen fra geotermianlægget kun skal leveres til de eksisterende fjernvarmecentraler i Roskilde Forsynings område og til Svogerslev Fjernvarme. Dette dog således, at en del af varmen kan leveres ved distributionstemperatur via VEKS transmissionsnet.

I sommerperioden (> time 7000) forventes hele varmeforbruget dækket af affaldsvarme.

Varmegrundlag (midlet)	TJ/år	3016
Eksisterende produktionsanlæg med forret. Antages tilgængelig som drivvarme.	MW	64
Fremløbstemperatur vinter	°C	82*)
Returløbstemperatur vinter	°C	45*)
Fremløbstemperatur sommer	°C	77*)
Returløbstemperatur sommer	°C	49*)
Mindste varmeeffekt (sommereffekt)	MW	0

Tabel 2: Energiforudsætninger.

\*) Der er lagt 3 °C til fjernvarmetemperaturerne for at kompensere for veksler-tab.

### 4 Beregninger for et geotermianlæg

Beregningerne er udført med geotermiPRO, en konceptberegningsmodel for geotermiske anlæg. Programmet arbejder ud fra en anlægskonstellation med varmevekslere og varmepumper og muligheden for at opdele anlægget med geotermivandskreds og varmepumpekreds på to lokaliteter (se bilag om geotermiPRO).

Bemærk at der i beregningerne er lagt 3 °C til alle fjernvarme-temperaturer for at kompensere for veksler tab.

I beregningerne er varmegrundlaget taget i betragtning i form af en varighedskurve, og der er foretaget en vægtet midling af temperaturniveauerne over året. Det forudsættes at geotermien sammen med anlæggene til driv- og eftervarme vil udgøre grundlast i fjernvarmeforsyningen.

De tekniske og økonomiske forudsætninger for beregningerne fremgår i øvrigt af notatet "Generelle forudsætninger for beregning af geotermianlæg".

I standardberegningen forudsættes der anvendt absorptionsvarmepumper, og drivvarme forudsættes at være til stede ved 160 °C. Det forudsættes at varmen fra eksisterende forbrændingsanlæg kan benyttes

som drivvarme. På anlægsskitser i output fra geotermiPRO, som vises i resultatafsnittet er der kun vist én absorptionsvarmepumpe, mens der i praksis kan være tale om et antal absorptionsvarmepumper i serie.

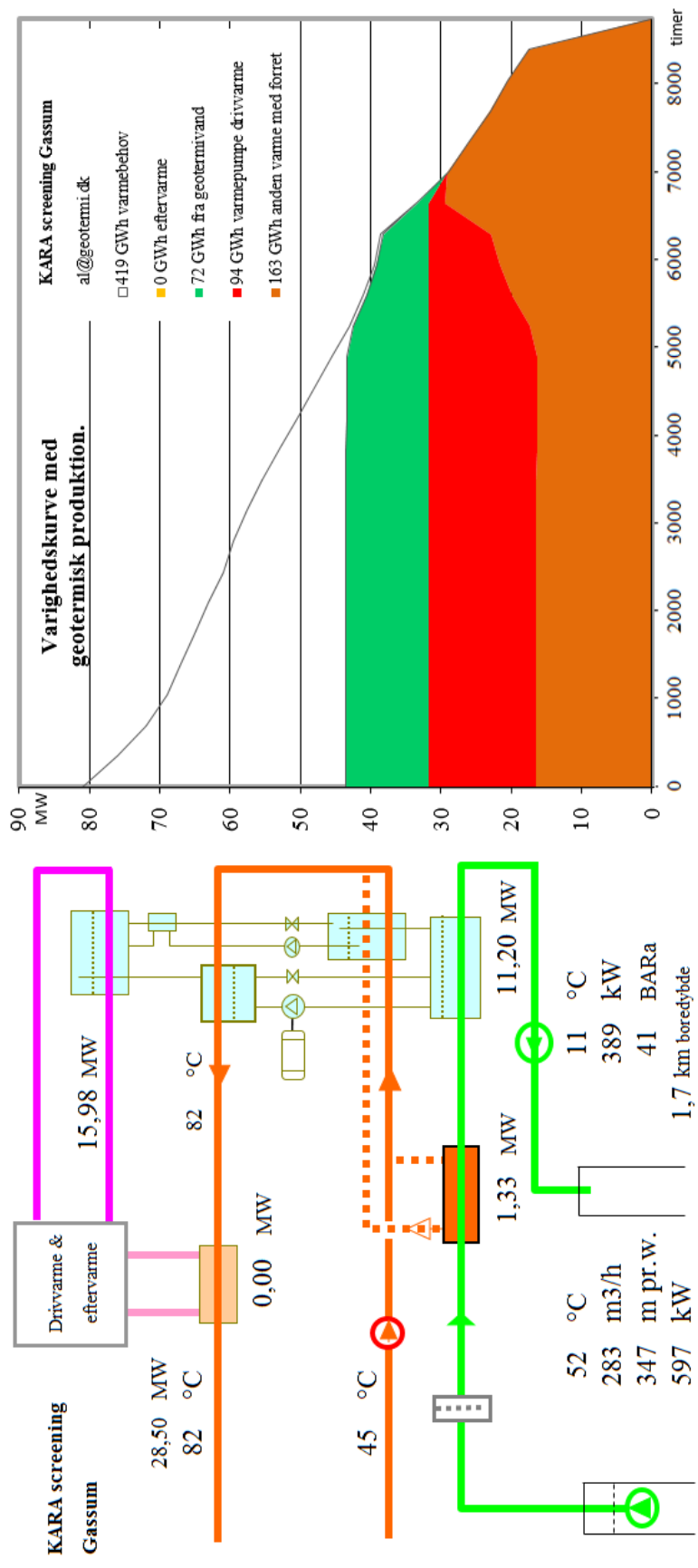
## 5 Resultater

Resultaterne af anlægsberegninger er samlet i den følgende Tabel 3. Desuden vises resultater for geotermiPRO-beregning i en figur indeholdende anlægsskitse med energibalance, varighedskurve med geotermibidrag samt økonomiske nøgletal. Output fra standard-beregningen vises i Figur 1.

En anlægsberegning for et anlæg med absorptionsvarmepumper og placeret på én lokalitet, standardberegningen, viser at der med en samlet investering på 476 mio. kr. kan etableres et geotermianlæg med en kapacitet på 25 MW varme fra undergrunden og en total effekt inklusiv driv- og eftervarme på 57 MW. Usikkerheden på anlægstørrelsen er vurderet til at være høj.

Med de generelle forudsætninger, herunder antagne energipriser og kalkulationsrente, resulterer dette i en årlig varmeproduktion fra undergrunden på 144 GWh/år og en forventet varmepris for geotermivarmen på 327 kr./MWh.

Resultaterne i Tabel 3 skal benyttes i de videre beregninger af scenarier og landsbilleder for geotermi i fjernvarmesystemerne, og indeholder derfor ikke omkostninger til energikøb i de variable drift- og vedligeholdelsesomkostninger. Ligeledes er afskrivning og forrentning af anlægsinvesteringerne ikke medtaget i tabellen.



2015 prisniveau	17,8 Mkr/år + 80,9 kr/MWh	Mkr/år	14,2	196,4
Forundersøgelser	5,4 mio.kr	Indexlån	3,0%	25 år
Boringer, planlægning	132,2 mio.kr	Drift eksklusive energikøb	5,4	74,3
Overfladeanlæg	100,7 mio.kr	Proces el til pumper mm.	4,1	56,1
Byggerenter	13,1 mio.kr	Drivenergi kompressor VP	0,0	0,0
I alt	251,3 mio.kr	Drivenergi absorption VP	0,0	0,0
Proces el til pumper mm., mio.kWh/år.	5,4	Eftervarme til fremløb	0,0	0,0
El eller brændsel VP motor, mio.kWh/år.	0,0	Varmepris	23,7	326,9

Figur 1: Output fra geotermiPRO, for én dublet, med absorptionsvarmepumper.

Beregningsresultater Geotermianlæg ved Roskilde data for 2 doubletetter	Enhed	A) Absorptions varmepumper		B) El- varmepump er	C) Kombination Absorptions og el VP
		Samlet anlæg	Opdelt anlæg	Samlet anlæg	
<b>Anlægs kapacitet (vinter)</b>					
1) Effekt fra geotermivand	MW	25,055			
2) Effekt fra drivvarme	MW	31,965			
3) Effekt fra eftervarme	MW	0,000			
4) Varmeeffekt til fjernvarmevand	MW	57,009			
5) Proces el	MW	2,157			
6) Varmepumpe el	MW	N/A			
<b>Årsenergiomsætning, forholdstal</b>					
7) Varme fra geotermivand	%	100,000			
8) Drivvarme	%	130,103			
9) Eftervarme	%	0,000			
10) Varme til fjernvarmevand	%	230,103			
11) Proces el forbrug	%	7,481			
12) Varmepumpe el forbrug	%	N/A			
<b>Investeringsomkostninger</b>					
13) Samlet investering	mio. kr	476,459			
14) Byggerenter	mio. kr	26,140			
<b>Driftsomkostninger</b>					
15) Faste D&V omkostninger	mio. kr/år	7,175			
16) Variable D&V omkostninger, eksklusiv energiforbrug, per MWh varme produceret fra geotermivand	kr/MWh	24,779			

Tabel 3: Resultater fra anlægsberegninger i geotermiPRO.

Noter til Resultatark:

- 1) Effekt fra geotermivand: Den effekt, der stammer fra undergrunden, ved drift i vinterperioden.
- 2) Effekt fra drivvarme: Effekt i form af varme til absorptionsvarmepumper, ved drift i vinterperioden.
- 3) Effekt fra eftervarme: Effekt i form af eftervarme til at hæve temperaturen efter varmepumperne, ved drift i vinterperioden.
- 4) Total effekt til fjernvarmevandet, ved drift i vinterperioden
- 5) Proces el effekt til geotermianlæg, ved drift i vinterperioden
- 6) El effekt til varmepumper, ved drift i vinterperioden
- 7) Årsenergiomsætning, varmemængde produceret fra geotermivand (%). Årsenergiomsætningerne er beregnet med en vægtet kombination af sommer- og vinterdrift.
- 8) Årsenergiomsætning, drivvarmemængde per varmemængde produceret fra geotermivand (%)
- 9) Årsenergiomsætning, eftervarmemængde per varmemængde produceret fra geotermivand (%)
- 10) Årsenergiomsætning, total varmemængde til fjernvarmevand per varmemængde produceret fra geotermivand (%)
- 11) Årsenergiomsætning, proces el forbrug per varmemængde produceret fra geotermivand (%)
- 12) Årsenergiomsætning, varmepumpe el forbrug per varmemængde produceret fra geotermivand (%)
- 13) Samlet investering i geotermianlæg inklusiv varmepumper men ekskl. drivvarmeanlæg. Prisniveau 2015 (uden byggerenter)

- 14) Byggerenter for mellemfinansiering i byggeperioden (3% realrente p.a.)
  - 15) Faste drifts- og vedligeholdelsesomkostninger for anlægget (uanset driftstid)
  - 16) Variable drifts- og vedligeholdelsesomkostninger ekskl. energiforbrug. Årlige variable omkostninger til drift og vedligehold i forhold til årlig varmemængde produceret fra geotermivand.
- Kolonne C): Svarende til et geotermianlæg med både absorptions- og el varmepumper. Anlægget kan skiftevis drives med absorptions- eller el-varmepumper.



## Roskilde (Storkøbenhavn)



De efterfølgende sider indeholder en specifik resultatrapport for Roskilde (Storkøbenhavn). De fire scenarier som der vises resultater for er:

1. Ref.: Reference scenarie med fastholdelse af det nuværende system og de af fjernvarmeselskaberne planlagte udvidelse indtil 2020. Fra 2020 er "verden forlænget med brædder". Dette scenarie er altså et "status-quo" scenarie.
2. Ref.m.geo.: Reference scenariet med anlagt geotermianlæg. Anlæggets størrelse og tekniske specifikationer er udregnet af Dansk Fjernvarmes Geotermiselskab. Scenariet kan sammenlignes med Reference scenariet og vise hvorledes et geotermianlæg vil konkurrere i områdets nuværende system.
3. Alt.: Alternativ scenariet er hvor systemerne ikke er forlænget med brædder, men i stedet har investeret i nye teknologier, primært biomasse kraftvarme, solvarme og varmepumper.
4. Alt.m.geo.: Dette er et alternativt scenarie, hvor der før man har investeret i nye teknologier har implemeteret et geotermianlæg. Det vil derfor stadig investere i nye teknologier, men i mindre omfang. Dette scenarie kan sammenlignes med Alternativ scenariet og se geotermianlægs konkurrenceforhold i et mere grønt system.

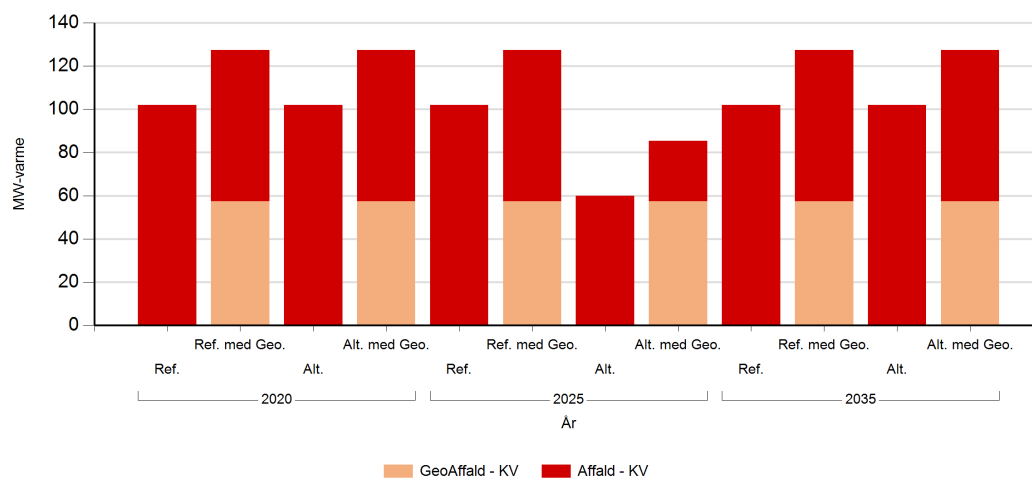
De to scenarier Ref. og Alt. er valgt for at ramme en stagnering og ekspanderende udvikling af grønne teknologiindfasning. I nogle systemet vil man være tættest på det ene og i andre tættest på det andet. De fire scenarier er forklaret i større detalje i hovedrapporten "Landsdækkende screening af geotermi i 28 fjernvarmeområder - Beregning af geotermianlæg og muligheder for indpasning i fjernvarmeforsyningen."

Denne rapport viser varmeproduktionskapaciteter, årlig fjernvarmeproduktion og månedlig fjernvarmeproduktion. Figur- og tabelforklaring er som følger:

- Figur 1: Fjernvarmeproduktionskapacitet fordelt på brændsler og anlægstyper
- Figur 2: Fjernvarmeproduktion i forhold til fjernvarmebehov
- Figur 3: Fjernvarmeproduktion fordelt på brændsler og anlægstyper
- Figur 4: Brændselsforbrug for fjernvarmeproduktion fordelt på brændsler
- Figur 5: Varmelastfordeling over året fordelt på brændsler og anlægstyper
- Figur 6: Samlede varmeproduktionsomkostninger for området (mio. kr.)
- Figur 7: Samlede varmeproduktionsomkostninger for området (kr./GJ)
  
- Tabel 1: Fjernvarmeproduktionskapacitet fordelt på brændsler og anlægstyper
- Tabel 2i: Solvarmeanlæg i m<sup>2</sup>
- Tabel 2ii: Fjernvarmeproduktion fordelt på brændsler og anlægstyper
- Tabel 3: Brændselsforbrug for fjernvarmeproduktion fordelt på brændsler
- Tabel 4: Fulldlasttimer for varmeproduktionsenhederne.

## Kapaciteter

### Fjernvarmeproduktionskapacitet - fordelt på brændsler og anlægstyper



Figur 1: Udvikling i fjernvarme-produktionskapacitet for Roskilde fordelt på brændsler og anlægstyper. For alle fjernvarmeområder er der yderligere indsat tilstrækkelig oliespidslastkapacitet til at dække spidsbehovet.

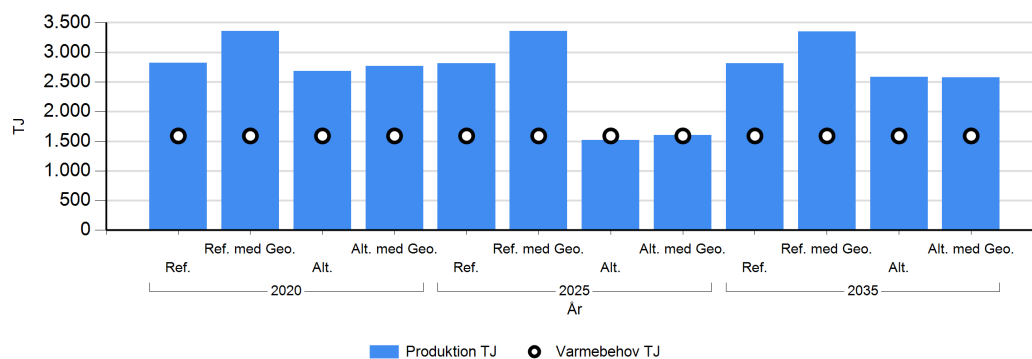
### Fjernvarmeproduktionskapacitet - fordelt på brændsler og anlægstyper

MW Brændsel og Anlægstyper	2020				2025				2035			
	Ref.	Ref. med Geo.	Alt.	Alt. med Geo.	Ref.	Ref. med Geo.	Alt.	Alt. med Geo.	Ref.	Ref. med Geo.	Alt.	Alt. med Geo.
Affald - KV	102.0	70.0	102.0	70.0	102.0	70.0	60.0	27.9	102.0	70.0	102.0	70.0
GeoAffald - KV		57.3		57.3		57.3		57.3		57.3		57.3

Tabel 1: Udvikling i fjernvarmeproduktionskapacitet for Roskilde. For alle fjernvarmeområder er der yderligere indsat tilstrækkelig oliespidslastkapacitet til at dække spidsbehovet.

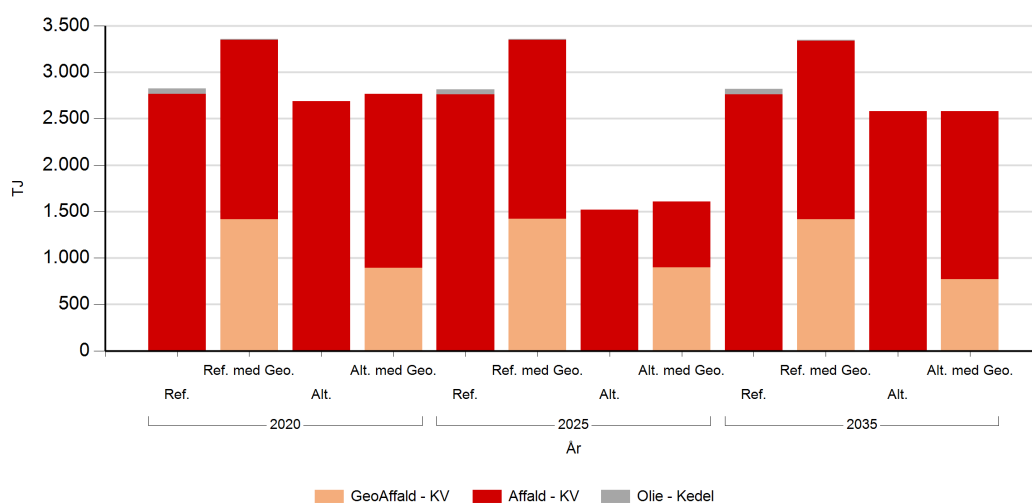
## Fjernvarmeproduktion

### Fjernvarmeproduktion i forhold til fjernvarmebehov



Figur 2: Fjernvarmeproduktion i forhold til fjernvarmebehov for Roskilde. Eventuelle forskelle mellem produktion og forbrug afspejler varmetransmission med andre fjernvarmeområder.

### Fjernvarmeproduktion fordelt på brændsler og anlægstyper



Figur 3: Fjernvarmeproduktion fordelt på brændsler og anlægstyper for Roskilde.

TJ	2020				2025				2035			
	Ref.	Ref. med Geo.	Alt.	Alt. med Geo.	Ref.	Ref. med Geo.	Alt.	Alt. med Geo.	Ref.	Ref. med Geo.	Alt.	Alt. med Geo.
Brændsler og Anlægstype												
GeoAffald - KV		1.416,9		894,8		1.419,5		897,8		1.413,5		771,8
Affald - KV	2.767,4	1.929,6	2.685,3	1.871,8	2.760,9	1.926,9	1.517,5	708,3	2.761,9	1.925,1	2.580,5	1.807,2
Olie - Kedel	55,2	9,2			55,2	9,2			55,2	9,2		

Tabel 2: Fjernvarmeproduktion fordelt på brændsler og anlægstyper for Roskilde.

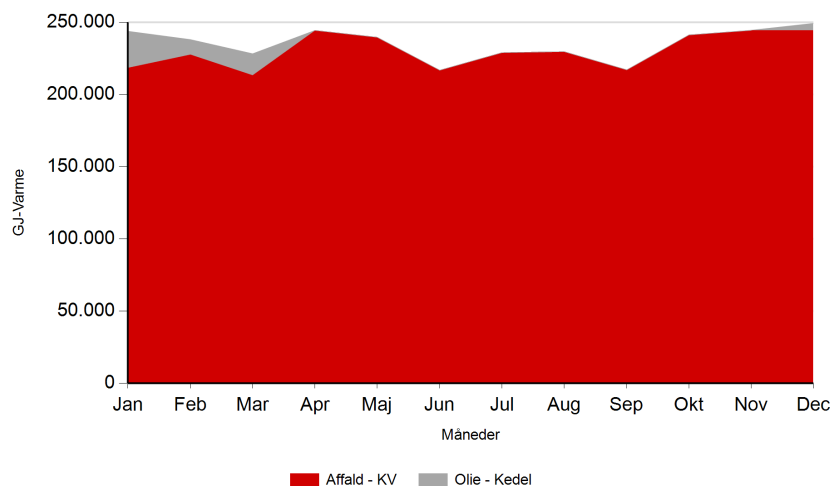
**Fulldlastimer for varmeproduktion**

Fulldlast timer	2020				2025				2035			
	Ref.	Ref. med Geo.	Alt.	Alt. med Geo.	Ref.	Ref. med Geo.	Alt.	Alt. med Geo.	Ref.	Ref. med Geo.	Alt.	Alt. med Geo.
GeoAffald - KV		6.865		4.335		6.877		4.350		6.848		3.739
Affald - KV	7.594	7.594	7.376	7.357	7.579	7.580	7.026	7.043	7.579	7.576	7.081	7.109
Olie - Kedel	15	3			15	3			15	3		

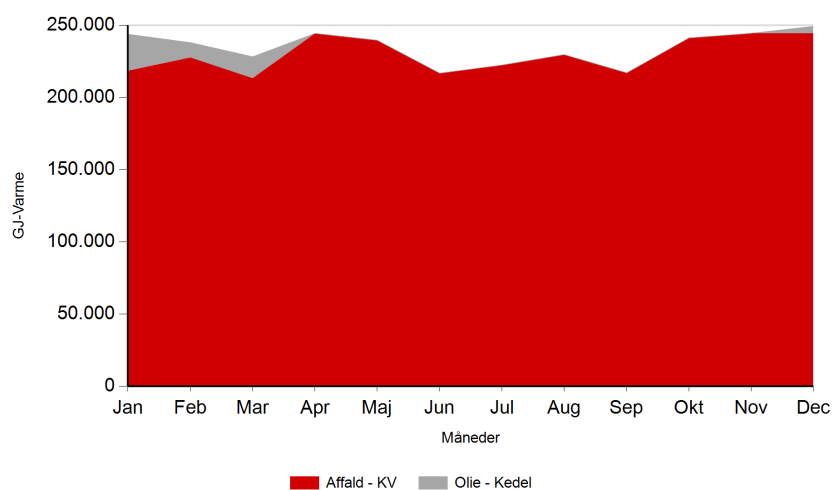
**Table 4: Antal af fulldlastimer for varmeproduktion i Roskilde.**

### Månedlig varmeproduktion fordelt på brændsler og anlægstyper for Roskilde.

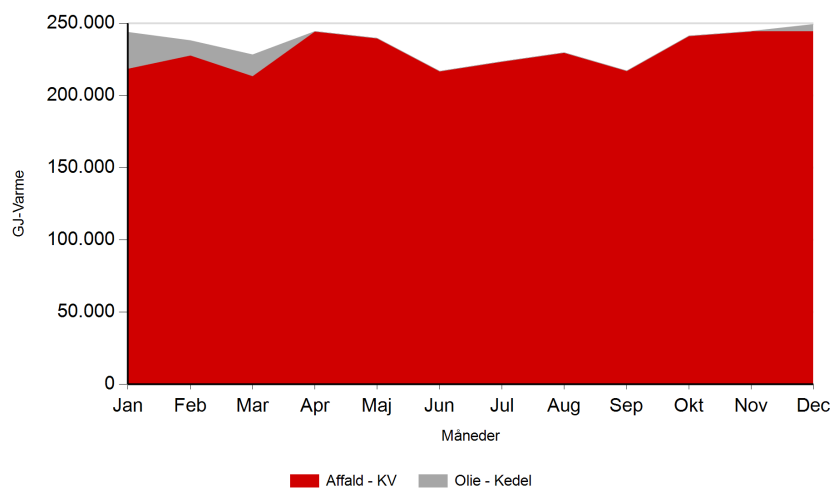
Ref. 2020



2025

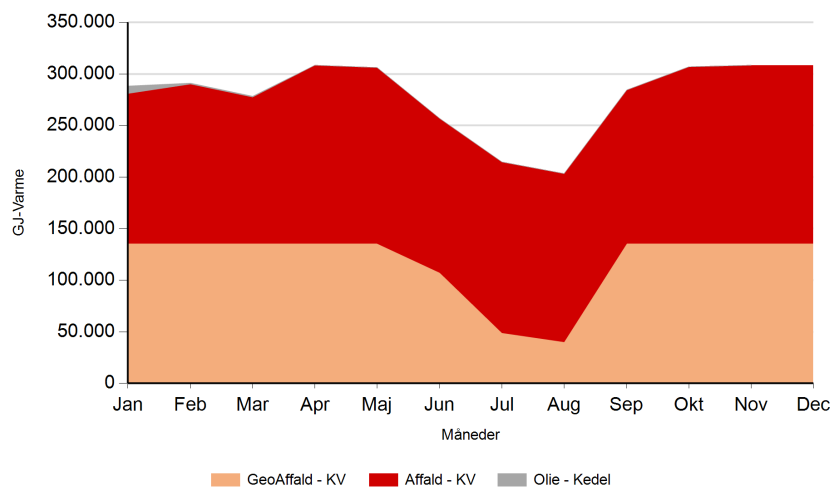


2035

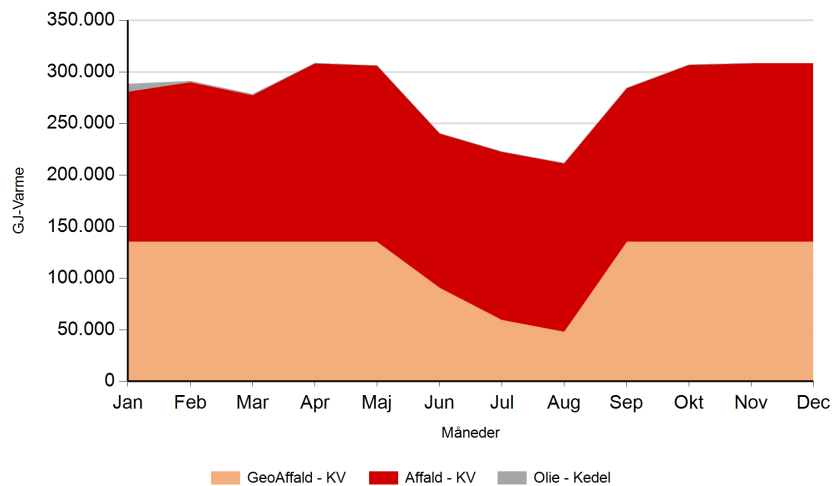




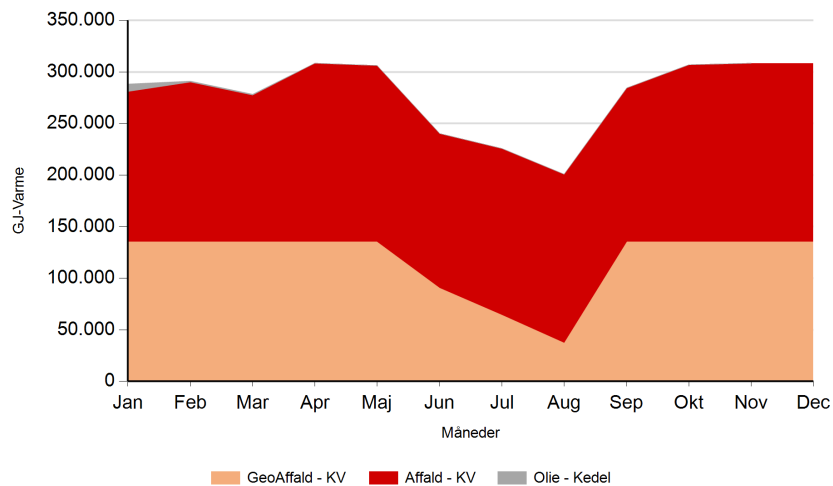
Ref. med Geo. 2020



2025



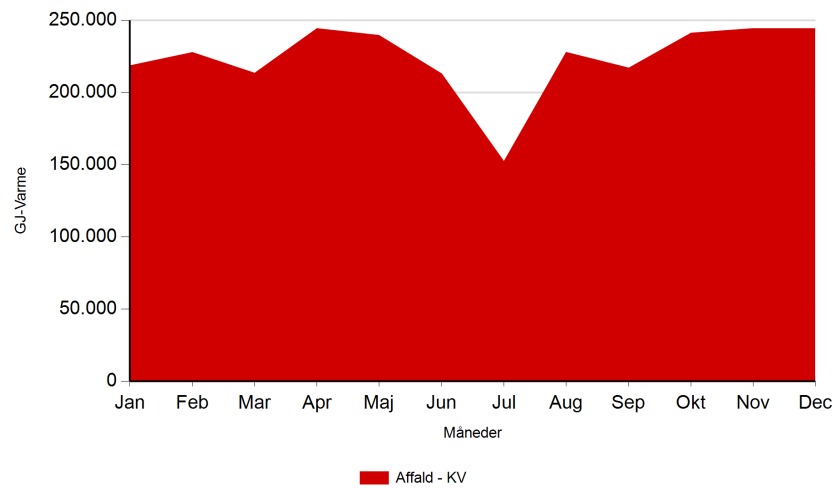
2035



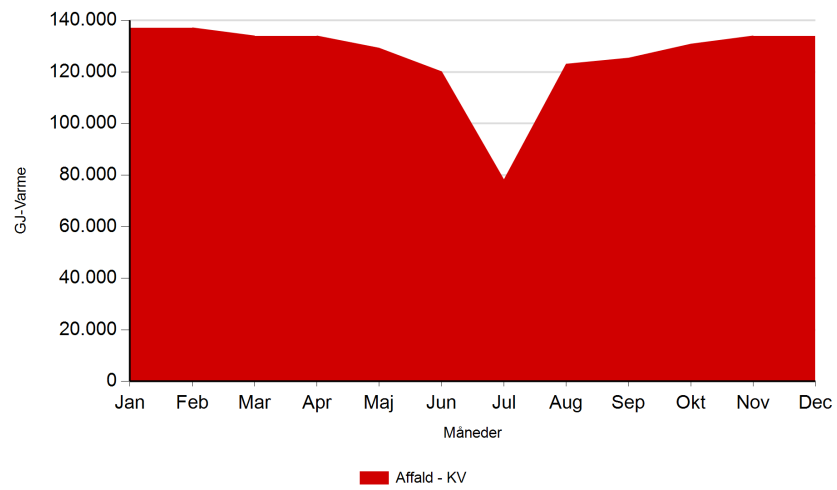


Alt.

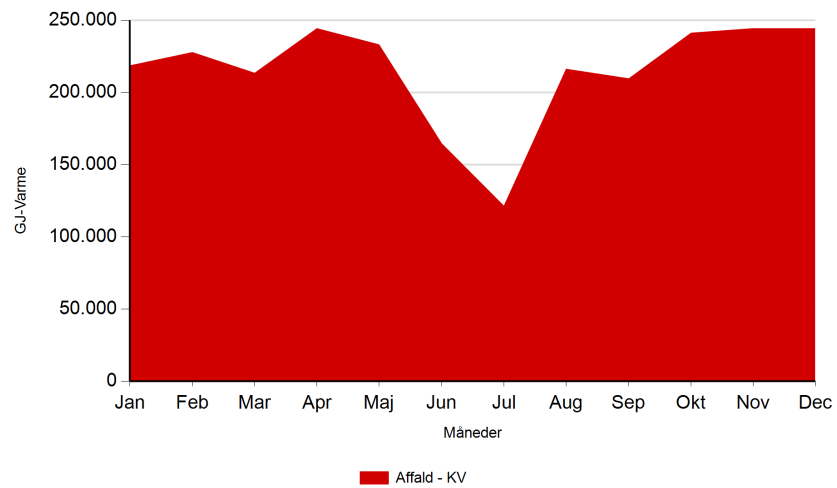
2020



2025

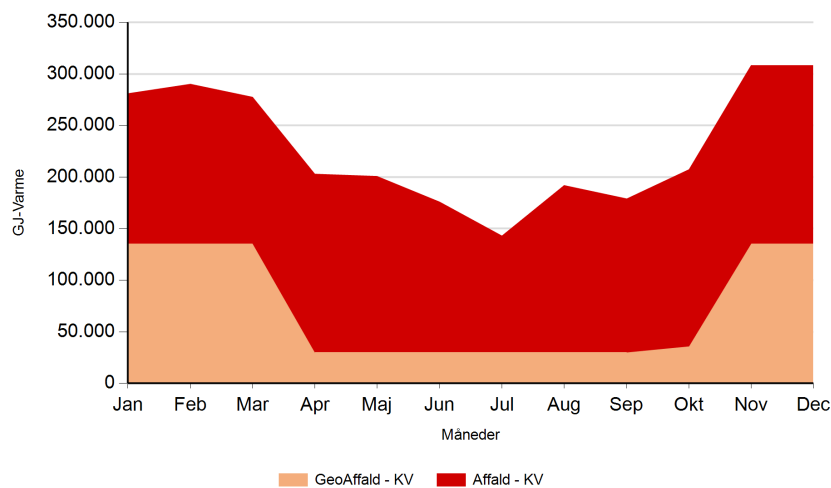


2035

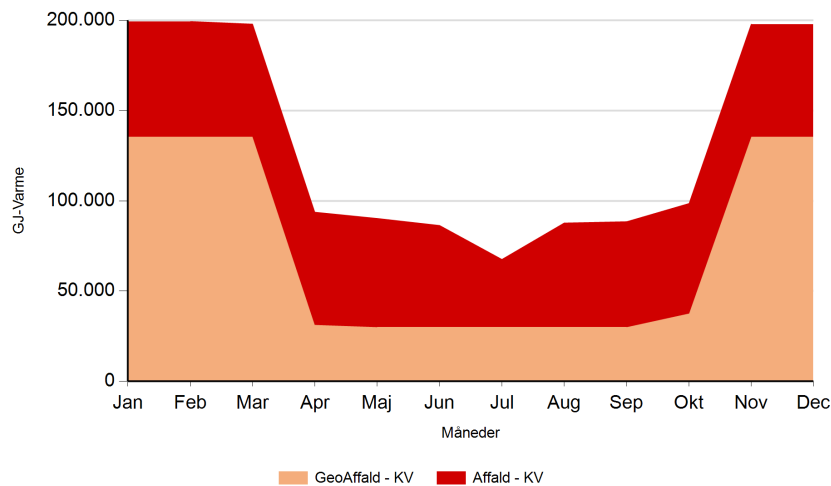




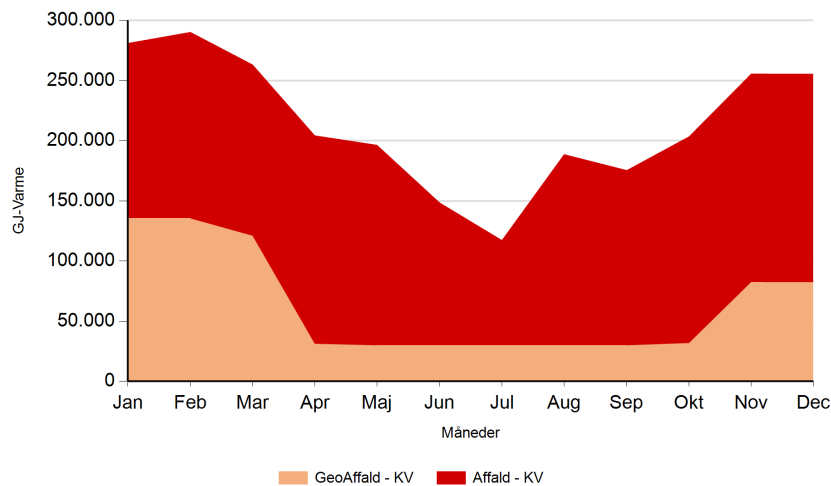
Alt. med Geo. 2020



2025

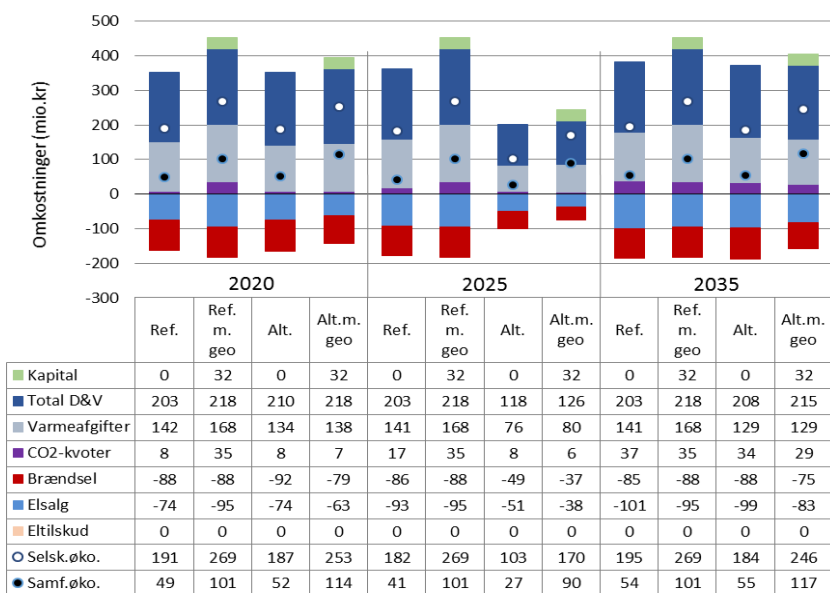


2035

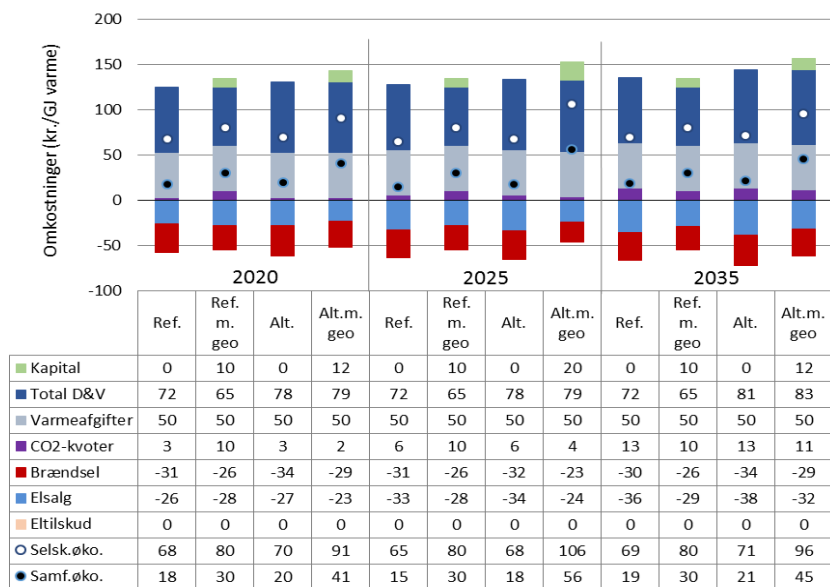


Figur 5: Fjernvarmeproduktion over året fordelt på brændsler og anlægstyper for Roskilde.





Figur 6: Samlede varmeomkostninger for området Roskilde



Figur 7: Samlede varmeproduktionsomkostninger for området Roskilde



# Det geotermiske screeningsprojekt

Roskilde-lokaliteten

Henrik Vosgerau, Anders Mathiesen, Lars Kristensen,  
Morten Sparre Andersen, Morten Leth Hjuler & Troels Laier



## Indhold

<b>1.</b>	<b>Introduktion</b>	<b>3</b>
<b>2.</b>	<b>Geologisk baggrund</b>	<b>5</b>
<b>3.</b>	<b>Resultater for Roskilde-lokaliteten</b>	<b>8</b>
3.1	Anbefalinger .....	10
<b>4.</b>	<b>Datagrundlag</b>	<b>11</b>
<b>5.</b>	<b>Gennemgang af data</b>	<b>14</b>
5.1	Udbredelse og kontinuitet af formationer og interne reservoirer .....	14
5.1.1	Seismisk tolkning og kortlægning.....	14
5.1.2	Boringsdata .....	16
5.2	Reservoirkvalitet .....	20
5.2.1	Tolkning af lithologi.....	26
5.2.2	Vurdering af tykkelser, lerindhold og porøsitet .....	31
5.2.3	Permeabilitet.....	32
5.2.4	Transmissivitet .....	34
5.3	Temperatur .....	35
5.4	Salinitet.....	37
<b>6.</b>	<b>Referencer</b>	<b>38</b>

# 1. Introduktion

I denne rapport præsenteres relevante geologiske data som grundlag for en vurdering af de dybe geotermiske muligheder ved en lokalitet beliggende ved Roskilde på adressen Navervej 12, 4000 Roskilde (Figur 1). Udvalget af lokaliteten er sket under hensynstagen til infrastrukturen på overfladen, herunder beliggenheden af eksisterende fjernvarmeanlæg og -net, samt ud fra driftsbetragtninger (primært temperatur og lastforhold).

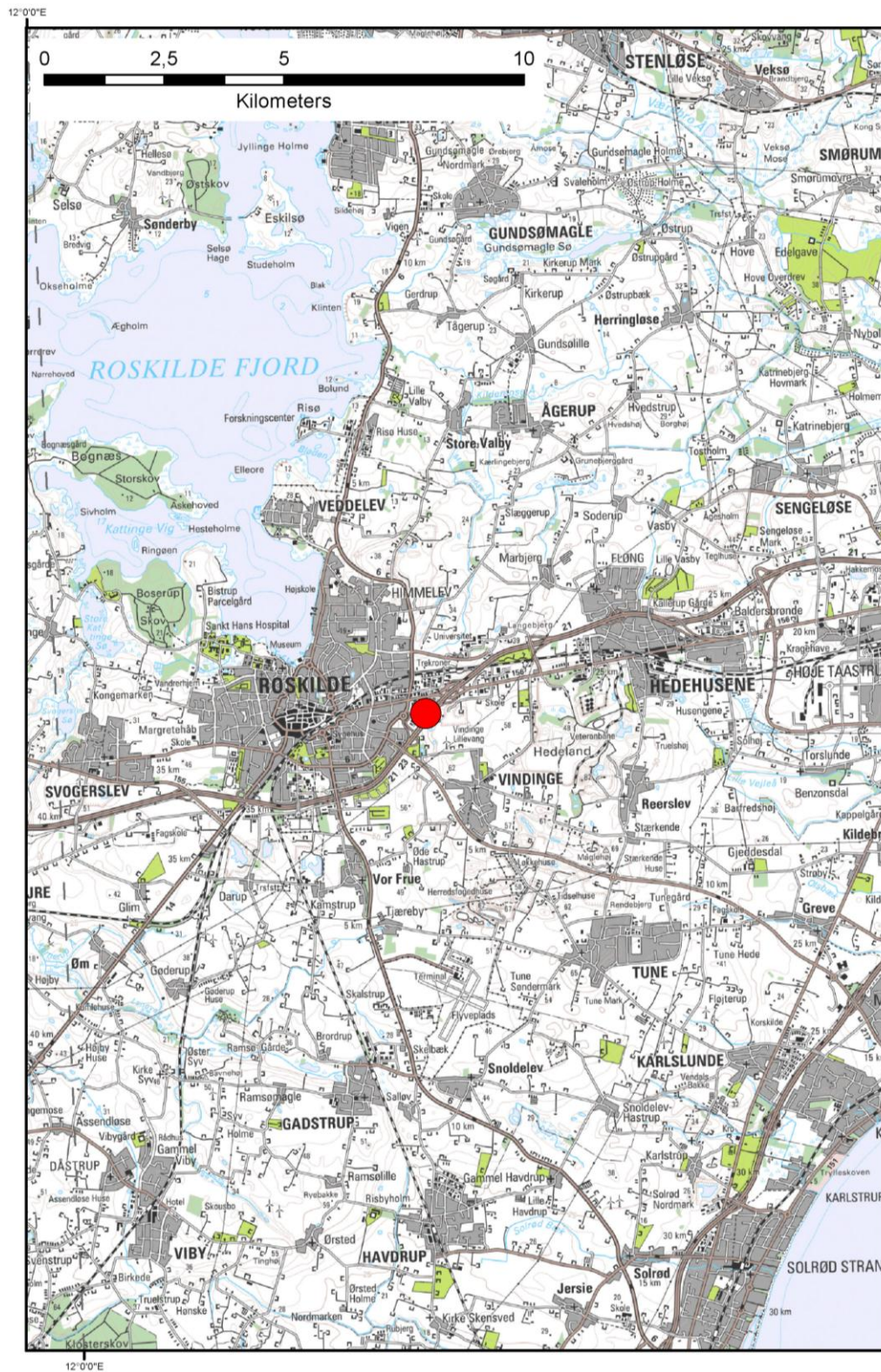
Storkøbenhavns fjernvarmeområde, som Roskilde er en del af, udgør ét af 28 fjernvarmeområder, der skal screenes for de geotermiske muligheder ved en udvalgt lokalitet. Screeningen sker for midler afsat i den Enerkipolitiske aftale af 22. marts 2012. De 28 fjernvarmeområder er valgt ud fra, at deres varmemarked er større end 400 TJ/år, og at de dækker områder, hvor der forekommer formationer i undergrunden, som kan indeholde geotermiske sandstensreservoirer i det rette dybdeinterval for geotermisk indvinding. De geologiske data skal efterfølgende indgå som et input til at estimere varmeeffekt, geotermisk indvindingspotential, økonomi m.v. ved en eventuel realisering af et geotermianlæg og til efterfølgende at vurdere samfundsøkonomi samt selskabsøkonomi på det samlede varmemarked ved inkludering af geotermisk varmeproduktion.

De geologiske data fra screeningen af de 28 fjernvarmeområder indgår i en Geotermi WebGIS portal, hvori relevante geologiske data sammenholdes med henblik på at lave en screening af det geotermiske potential på landsplan. WebGIS portalen er under udarbejdelse af GEUS for midler, der ligeledes er afsat i den Enerkipolitiske aftale af 22. marts 2012.

Undergrundens geologiske opbygning kan variere betydeligt over selv korte afstande og som følge heraf, kan det geotermiske potential variere tilsvarende. En kortlægning af denne variation over større områder er meget omfattende, kræver ofte indsamling af supplerende geologiske data og ligger som følge heraf udenfor rammerne af indeværende screening. Den valgte lokalitet udgør derfor muligvis heller ikke det mest optimale sted for udnyttelse af geotermi i Storkøbenhavn-området, hvis der udelukkende tages udgangspunkt i de geologiske forhold. Geotermi WebGIS portalen vil udgøre et godt udgangspunkt til at vurdere geologien og variationen af det geotermiske potential over større områder.

Gennemgangen af Roskilde-lokaliteten er opbygget således, at der i afsnit 2 gøres rede for regionale geologiske forhold og undergrundens opbygning. Det vurderes, at den primære dybe geotermiske reservoirmulighed ved lokaliteten udgøres af knap 60 meter sandsten, der er beliggende mere end 1560 meter under terræn. Sandstenene indgår i Gassum Formationen, og den geologiske gennemgang og vurdering af undergrunden fokuserer derfor på denne formation. Geologiske nøgledata, der danner grundlag for en vurdering af det geotermiske potential ved lokaliteten og som udgør et input til efterfølgende økonomiske beregninger mm., er samlet i Tabel 3.1 i afsnit 3. I afsnit 3 evalueres det geotermiske potential endvidere, og der gives anbefalinger til eventuelle supplerende undersøgelser. I de efterfølgende afsnit dokumenteres datagrundlaget, og hvordan de geologiske nøgledata er fremkommet samt delvist hvilke betragtninger og antagelser, der ligger bag dem. For en generel introduktion til anvendelsen af geotermisk energi i Danmark ud fra en geologisk synsvinkel henvises der til WebGIS portalen. Heri gennemgås blandt

andet hvilke typer geologiske data (reservoirdata, seismiske data, temperaturdata og salinitetsdata m.fl.), der indgår i vurderingen af et geotermisk potentiale og hvilke usikkerheder, der overordnet knytter sig til beregningen af disse.



Figur 1: Kort visende den omtrentlige beliggenhed af prognoselokaliteten (rød cirkel) i den østlige del af Roskilde.

## 2. Geologisk baggrund

Roskilde-området er beliggende i det Danske Bassin, som udgør den sydøstlige del af det Norsk–Danske Bassin, der blev dannet ved strækning af skorpen i Tidlig Perm tid. Mod syd afgrænses bassinet fra det Nordtyske Bassin ved Ringkøbing–Fyn Højderyggen, der er en del af et regionalt VNV–ØSØ-gående strøg af højtliggende grundfjeldsområder i undergrunden. Mod nordøst og øst afgrænses bassinet af den Fennoskandiske Randzone, som består af Sorgenfrei–Tornquist Zonen og Skagerrak–Kattegat Platformen, der udgør overgangen til det højtliggende grundfjeld i det Baltiske Skjold (Figur 2).

Efter en indledende aflejring af Rotliegend grovkornede klastiske sedimenter i det Danske Bassin og det Nordtyske Bassin fulgte en lang periode med indsynkning, hvor tykke aflejringer af Zechstein-salt blev dannet i bassinerne efterfulgt af aflejring af sand, mudder, karbonat og mindre saltdannelser i Trias og Tidlig Jura. Regional hævnning i tidlig Mellem Jura førte til en betydelig erosion af underliggende sedimenter, specielt op mod flankerne af og over det højtliggende grundfjeld i Ringkøbing–Fyn Højderyggen. Forkastningsbettinget indsynkning fortsatte dog i Sorgenfrei–Tornquist Zonen, hvor der aflejredes sand og mudder. Regional indsynkning fandt atter sted i løbet af den sene del af Mellem Jura og fortsatte generelt indtil Sen Kridt – Palæogen tid, hvor indsynkningen blev afløst af opløft og erosion relateret til den Alpine deformation og åbningen af Nordatlanten. Aflejringerne fra den sidste periode med indsynkning består af Øvre Jura – Nedre Kridt sandsten og i særdeleshed mudder- og siltsten efterfulgt af tykke karbonat- og kalkaflejringer fra Øvre Kridt, der udgør den øverste del af den mesozoiske lagserie i bassinerne. De betydelige mængder sedimenter, der blev aflejret gennem Mesozoikum, førte i perioder til, at underliggende aflejringer af salt fra Sen Perm tiden blev plastisk deformeret og nogle steder søgte opad langs svaghedszoner. Dette resulterede nogle steder i, at de overliggende lag blev løftet op (på saltpuder) eller gennembrudt af den opstigende salt (af salt diapirer). Over saltstrukturerne kan lagene være eroderet helt eller delvis bort eller ikke være aflejret, hvorimod forøget indsynkning nedenfor saltstrukturernes flanker (i randsænkerne) kan have ført til, at selvsamme lag er ekstra tykke i disse områder. Saltbevægelsen har endvidere mange steder været ledsaget af forkastningsaktivitet, og da tektonisk betinget forkastningsaktivitet også har fundet sted, er den strukturelle kontinuitet som følge heraf lille i dele af det Danske Bassin. Saltbevægelse er dog mindre udpræget i den sjællandske undergrund i forhold til i undergrunden i Jylland og det sydligste Danmark.

I Roskilde-området er Øvre Perm – Kvartær lagserien omkring 2,0–3,0 km tyk (Vejbæk & Britze 1994). I regionen vurderes potentielle geotermiske sandstensreservoirer at kunne være til stede i den Nedre Triassiske Bunter Sandsten Formation og den Øvre Triassiske – Nedre Jurassiske Gasum Formation (Mathiesen et al. 2013). Endvidere kan potentielle geotermiske sandstensreservoirer også være til stede i en "Nedre Jurassisk enhed" og en "Nedre Kretassisk enhed". Dette er baseret på, at formationerne og enhederne i større områder vurderes til at kunne indeholde geotermiske sandstensreservoirer indenfor dybdeintervallet 800–3000 meter, der anses for egnet til dyb geotermisk indvinding. Kortlægningen af dybdeintervaller og indhold af sandsten er baseret på tilgængelige seismiske data og data fra dybe borer i undergrunden. Den geografi-

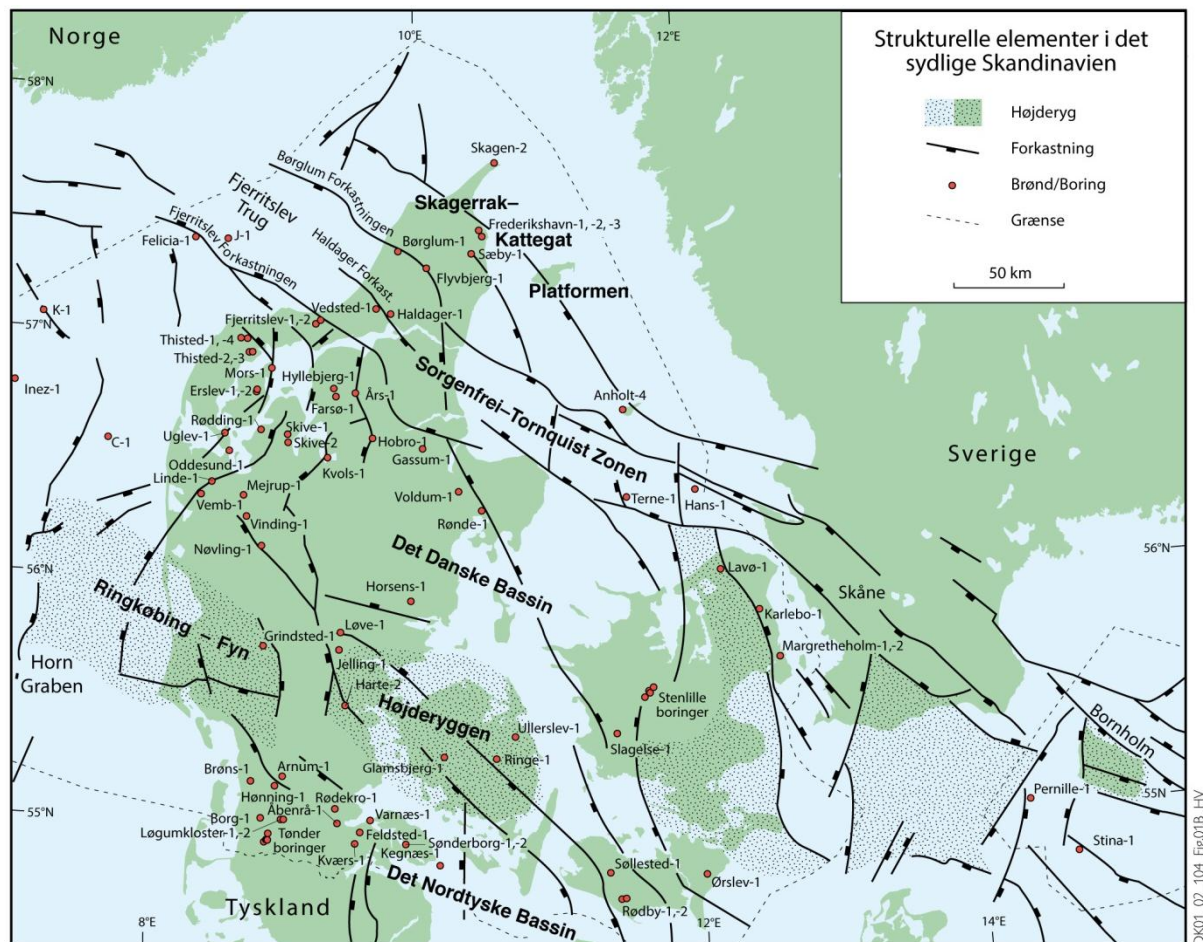
ske dækning og kvaliteten af disse data er dog meget varierende, og det er som følge heraf også meget forskelligt med hvilken grad af sikkerhed, man kan udtale sig om det geotermiske potentiale fra område til område.

Gassum Formationen er i en tidligere analyse vurderet til at udgøre det primære mål for dyb geotermisk indvinding ved prognoselokaliteten, da denne generelt vurderes at have de bedste reservoiregenskaber i området (Mathiesen et al. 2001). Fokus er derfor i det efterfølgende på Gassum Formationen i vurderingen af det geotermiske potentiale ved prognoselokaliteten ved Roskilde. "Nedre Jurassisk enhed" ligger umiddelbart ovenover Gassum Formationen, og der vil derfor muligvis kunne produceres geotermisk energi fra denne og Gassum Formationen samtidigt.

Gassum Formationen udgør det bedst kendte sandstensreservoir i Danmark og udnyttes til geotermisk indvinding i Thisted og Sønderborg samt til gaslagring ved Stenlille. Formationen er vidt udbredt i det Danske Bassin og til dels også i den danske del af det Nordtyske Bassin med en generel tykkelse på 30–150 meter og med tykkelser på op til mere end 300 meter i Sorgenfrei-Tornquist Zonen (Nielsen 2003). Derimod synes formationen generelt ikke at være til stede henover Ringkøbing–Fyn Højderyggen og langs dens flanker. Endvidere kan formationen stedvis mangle på grund af lokal hævnning og erosion relateret til saltbevægelse i undergrunden.

Gassum Formationen domineres af fin- til mellemkornede, stedvis grovkornede, lysegrå sandsten, der veksler med mørkere-farvede ler- og siltsten og lokalt tynde kullag (Bertelsen 1978, Michelsen & Bertelsen 1979, Michelsen et al. 2003). Sedimenterne afspejler afsætning under gentagne havniveausvingninger i den sidste del af Trias Perioden og i starten af Jura Perioden (Nielsen 2003). I dette tidsrum var hovedparten af det danske indsynkningsområde et lavvandet havområde, hvortil floder transportererede store mængder af sand eroderet fra det Skandinaviske grundfjeldsområde og i mindre grad også fra Ringkøbing–Fyn Højderyggen i perioder, hvor denne var blotlagt. Noget af sandet blev afsat i flodkanaler og estuarier, men det meste blev aflejret i havet som kystsand. Herved blev der dannet forholdsvis sammenhængende sandstenslegemer med stor geografisk udbredelse. Senere forkastningsaktivitet har i nogle områder dog ændret på dette, ligesom senere kompaktion og mineraludfældninger (diagenese) har modificeret reservoiregenskaberne.





Figur 2: De væsentligste strukturelle elementer i det sydlige Skandinavien inklusive det Danske Bassin, Sorgenfrei-Tornquist Zonen, Skagerrak-Kattegat Platformen, Ringkøbing-Fyn Højderyggen og den nordligste del af det Nordtyske Bassin. Modificeret figur fra Nielsen (2003).

### 3. Resultater for Roskilde-lokaliteten

De geologiske data for Gassum Formationen ved Roskilde-lokaliteten er samlet i Tabel 3.1. Usikkerheden på de angivne estimater bygger på en generel og erfaringsmæssig vurdering af tolknings-usikkerheden ved de forskellige typer af data (borehulslogs, porøsitet-permeabilitets sammenhænge etc.). Nogle af parametrene er indbyrdes afhængige, men de angivne usikkerheder knytter sig generelt til den enkelte parameter, og der er således ikke tale om akkumulerede usikkerheder. Specielt på reservoirdata er der store usikkerheder, og på GEUS pågår derfor et arbejde med at vurdere, om der er belæg for generelt at kunne reducere usikkerhedsbåndet på estimerede reservoirværdier.

Af tabellen fremgår det, at formationen vurderes at være til stede ca. 1510–1635 meter under havniveau (m.u.h.) og dermed i en dybde, der er egnet til dyb geotermisk indvinding. Dette afspejler sig i temperaturen, der vurderes til at være ca. 52 °C i midten af formationen. De øvrige parameterværdier vurderes positive eller rimelige med hensyn til det geotermiske potentiale. Reservoirtransmissiviteten er et udtryk for reservoirsandets geotermiske ydeevne og er dermed en vigtig parameter. Denne bør være større end 10 Darcy-meter (Mathiesen et al. 2013\*), og er vurderet til 36 Darcy-meter ved prognoselokaliteten (Tabel 3.1). Usikkerheden, der knytter sig til estimeringen af værdien, udelukker dog ikke, at transmissiviteten kan være på under 10 Darcy-meter (Tabel 3.1). Transmissiviteten er beregnet ud fra de log-bestemte porøsiteter, men kun zoner med reservoir-kvalitet indgår i beregningen (zonerne er markeret som "Potentielt reservoirsand" i Figur 6-10). I beregningen er der således forudsat en vis minimumsporøsitet (>15 %) samt et relativt lavt ler-indhold (<30 %).

Det er identificeret en markant forkastning 2-3 km vest for lokaliteten og mindre forkastninger tættere på, som gennemskærer Gassum Formationen. Hvis der er forkastninger til stede i nærheden af lokaliteten, og disse ikke kortlægges, er der risiko for, at eventuelt fremtidige geotermiske produktions- og injektionsboringer placeres, så de ikke er tilstrækkelig i hydraulisk kontakt med hinanden.

Med hensyn til dæklag, der erfaringsmæssigt kan være nødvendige at fokusere på i boreprocessen, vurderes Fjerritslev Formationen til at være omkring 120 meter tyk med toppen liggende ca. 1390 m.u.h. Kridt og Danien lageriens kalkaflejringer vurderes til at være ca. 1280 meter tykke og beliggende ca. 30–1310 m.u.h.

*\*I Mathiesen et al. 2013 angives det, baseret på foreløbige kriterier, at reservoirs gennemsnitlige gas-transmissivitet i udgangspunktet er rimelig, hvis denne er større end 8 Darcy-meter. Værdien svarer efter GEUS' vurdering til en væsketransmissivitet på ca. 10 Darcy-meter.*

Tabel 3.1: Nøgledata, der danner grundlag for en vurdering af det geotermiske potentiale ved prognoselokaliteten og som vil udgøre et input til økonomiske beregninger mm.

<b>Roskilde-lokaliteten</b>			
UTMz32 X: 696.482 m; Y: 6.170.436 m Terrænkote: ca. 51 meter over havniveau (m.o.h.)			
<b>Gassum Formationen</b>	<b>Estimeret værdi</b>	<b>Vurderet usikkerhed</b> <sup>1</sup>	<b>Usikkerhedsinterval</b> <sup>2</sup>
			[MinCase - MaxCase]
<b>Makro reservoirparametre</b>			
Dybde til top af formation [m.u.h.]	1510	10 <sup>3</sup>	1359–1661 <sup>3</sup>
Tykkelse af formation [m]	125	20 <sup>3</sup>	100–150 <sup>3</sup>
<b>Andel af sandsten i formationen</b>			
Tykkelse af Gross sand [m]	71	20 <sup>3</sup>	57–86 <sup>3</sup>
Tykkelse af Potentielt reservoirsand <sup>4</sup> [m]	59	20 <sup>3</sup>	48–71 <sup>3</sup>
Potentielt reservoirsand/formation <sup>5</sup>	0,48	20 <sup>3</sup>	0,38–0,57 <sup>3</sup>
Potentielt reservoirsand/Gross sand <sup>6</sup>	0,83	20 <sup>3</sup>	0,67–1,00 <sup>3</sup>
<b>Vandlevende egenskaber (reservoirsand)</b>			
Porøsitet [%]	23	15 <sup>3</sup>	20–26 <sup>3</sup>
Gas-permeabilitet [mD]	484	5 <sup>7</sup>	97–2421 <sup>7</sup>
Reservoir-permeabilitet <sup>8</sup> [mD]	604	5 <sup>7</sup>	121–3022 <sup>7</sup>
Reservoir-transmissivitet (Kh) <sup>9</sup> [Dm]	36	6 <sup>7</sup>	6–216 <sup>7</sup>
<b>Temperatur</b>			
Temperatur <sup>10</sup> [°C]	52	10 <sup>3</sup>	47–57 <sup>3</sup>
<b>Tekstur og cementering (sandsten)</b>		<b>Vurdering</b>	
Kornstørrelse/sortering/afrundingsgrad	Fin til mellem i kornstørrelse; sorteret til velsorteret; subkantede til subafrundede korn		
Diagenese/cementering	Løs til fast, kalkfri til kalk-cementerede, stedvis kvarts-cementerede		
<b>Andre betydende parametre</b>		<b>Vurdering</b>	
Salinitet	Kloridkoncentrationen er væsentlig under mætningspunktet for NaCl		
Sedimentologisk kontinuitet	Lille til høj		
Strukturel kontinuitet	Lille, men vanskeligt at udtale sig præcist om på grund af en ringe seismisk datadækning		

<sup>1</sup> Vurderet usikkerhed benyttes til udregning af Usikkerhedsinterval og er erfarings- og vidensbaseret (se tekst for nærmere uddybning).

<sup>2</sup> Usikkerhedsinterval angiver variationsbredden for Estimeret værdi og kontrolleres af omfang og kvalitet af det tilgængelige datagrundlag.

<sup>3</sup> Vurderet usikkerhed (målt i relative %). Usikkerhedsinterval givet ved Estimeret værdi +/- Vurderet usikkerhed (målt i relative %).

<sup>4</sup> Tykkelse af Potentielt reservoirsand er estimeret ud fra afskæringskriterier på Vshale (< 30 %) og log-porøsitet (> 15 %).

<sup>5</sup> Tykkelse af Potentielt reservoirsand divideret med Tykkelse af formation.

<sup>6</sup> Tykkelse af Potentielt reservoirsand divideret med Tykkelse af Gross sand.

<sup>7</sup> Usikkerhedsinterval givet ved Estimeret værdi divideret/ganget med Vurderet usikkerhed.

<sup>8</sup> Reservoir-permeabilitet er den permeabilitet, som forventes målt i forbindelse med en pumpetest eller en brøndtest. Reservoir-permeabiliteten er estimeret ved at multiplicere Gas-permeabilitet med en opskaleringsfaktor på 1,25.

<sup>9</sup> Reservoir-transmissiviteten er estimeret ud fra tolkning af logdata samt analyse af kernedata. Reservoir-transmissiviteten er opskaleret til reservoirforhold.

<sup>10</sup> Temperatur er estimeret for midten af formationen ud fra en generel dybde-temperatur relation for det Danske Bassin.

### 3.1 Anbefalinger

Det vil være nødvendigt at lave en seismisk dataindsamling, der som minimum muliggør en rumlig kortlægning af eventuelle forkastninger, der gennemskærer Gassum Formationen omkring prognoselokaliteten, og som kan anvendes til at bestemme de mest optimale placeringer af geotermi-brøndene. Endvidere vil dybden til Gassum Formationen og dens tykkelse herved kunne fastlægges mere præcist og dermed indirekte også flere af reservoirværdierne, herunder transmissiviteten og temperaturen. Til dette formål vurderes det, at der skal indsamles i størrelsesordenen af 25 km ny seismik. Det vil være ideelt med et seismisk tie til Stenlille-19 brønden for herved at kunne vurdere, hvor repræsentative boringsdata fra Stenlille-brøndene er for prognoselokaliteten. Dette vil i så tilfælde kræve indsamling af yderligere ca. 50 km ny seismik.

Ved en eventuel udførelse af en efterforskningsboring bør der undervejs indsamles information om reservoirgenskaberne for "Nedre Kretassisk enhed" og "Nedre Jurassisk enhed". Sidstnævnte enhed ligger umiddelbart ovenover Gassum Formationen, og der vil muligvis kunne produceres geotermisk energi fra både denne og Gassum Formationen samtidigt. Det kan endvidere overvejes at bore videre til den dybereliggende Bunter Sandsten Formation. Sandstensintervaller i denne formation kan potentielt udgøre et alternativt og varmere geotermisk reservoir til Gassum Formationen, hvis de indsamlede brønddata mod forventning viser, at Gassum Formationen ikke egner sig til geotermisk indvinding.

## 4. Datagrundlag

I Figur 3 er den tilgængelige database i Roskilde-området og i regionen vist i form af placering og kvalitet af seismiske linjer. Af figuren fremgår det, at der ikke findes dybde brønde i nærområdet til prognoselokaliteten.

Der er ikke udført mange dybe borer på Sjælland (Figur 2). Nærmeste dybe brønde er Margrethholm-1/1A og -2, Stenlille-brøndene, samt Karlebo-1/1A, der er placeret omkring 33-36 km fra prognoselokaliteten. På større afstand findes Lavø-1 og Slagelse-1, henholdsvis ca. 44 km og 55 km fra prognoselokaliteten (Figur 2). Ved gaslagret i Stenlille er der udført en række borer gennem Gassum Formationen. Der er her valgt at lade formationen ved Stenlille repræsentere ved data fra Stenlille-1 og Stenlille-19.

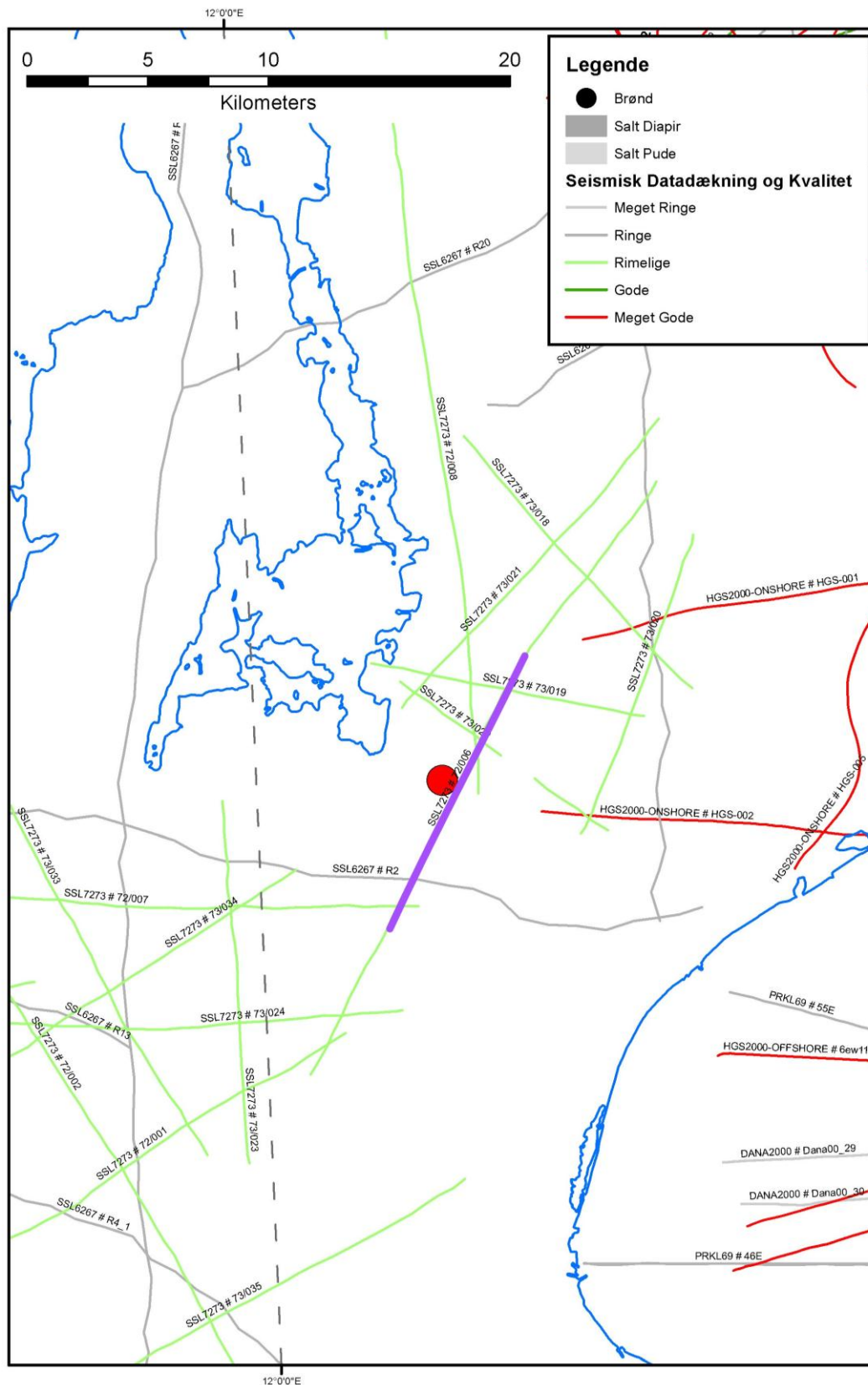
I Karlebo-1/1A boringen er der ikke optaget en fuld logsuite, men kun gamma-, sonic- og modstandslogs. Loggene fra Karlebo-1/1A er imidlertid af rimelig kvalitet, hvilket muliggør en vurdering af de fleste reservoirparametre, men desværre blev den nedre del af Gassum Formationen ikke logget på grund af tekniske problemer i forbindelse med log-optagelsen. I Margrethholm-1/1A og Stenlille-boringerne er der optaget en fuld logsuite, og da loggene desuden er af god kvalitet, er det derfor muligt at bestemme porøsitetfordelingen ret præcist. I Margrethholm-2, Slagelse-1 og Lavø-1 er der ikke optaget en fuld logsuite, og det er derfor ikke muligt at tolke flere relevante reservoirparametre. Overordnet set vurderes brønddækningen til at være ringe, men kvaliteten af brøndata som værende god i vurderingen af reservoirlagenes egenskaber ved prognoselokaliteten.

I Tabel 4.1 fremgår dybdeinterval og tykkelse af Gassum Formationen i de nærmeste brønde, som indgår med logdata i vurderingen af formationens reservoirparametre ved prognoselokaliteten. Endvidere er dybdeinterval og tykkelse vist for den lerstens-dominerede Fjerritslev Formation samt for Kridt lagseriens kalkaflejringer, som udgør "dæklag" for Gassum Formationen. Dybde og tykkelse af disse dæklag er også vurderet for prognoselokaliteten (afsnit 5) og er interessante, da de kan indgå i vurderingen af omkostninger til borefasen ved en eventuel etablering af et geotermisk anlæg.

Kvaliteten af de seismiske linjer, der er indsamlet i regionen, er markeret med farver i Figur 3 og 4 og angiver, hvor anvendelige de seismiske data er til at kortlægge formationer i det geotermiske dybdeinterval. Det er en overordnet kvalitetsangivelse, der i høj grad afspejler i hvilket år, de seismiske data blev indsamlet. Den seismiske datadækning er rimelig i området bortset fra, at der ikke er indsamlet seismiske data umiddelbart vest for lokaliteten. Kvaliteten af de nærmeste seismiske data er rimelig.

Tabel 4.1: De enkelte brøndes omtrentlige afstand til prognoselokaliteten er angivet i parentes under brøndnavnet. Brøndenes placering fremgår endvidere på oversigtskortet i Figur 2. Tykkelse er i meter, og dybdeinterval er i meter under havniveau.

		<b>Margretheholm-1/1A (33 km)</b>	<b>Karlebo-1/1A (36 km)</b>	<b>Stenlille-1 (34 km)</b>	<b>Stenlille-19 (35 km)</b>
<b>Kalk Gruppen</b>	Dybdeinterval (m.u.h.)	111–1591	147–1668	150–1158	151–1178
	Tykkelse (m)	1480	1521	1008	1027
<b>Fjerritslev Fm</b>	Dybdeinterval (m.u.h.)	1639–1833	1753–1991	1205–1465	1284–1458
	Tykkelse (m)	194	238	260	174
<b>Gassum Fm</b>	Dybdeinterval (m.u.h.)	1833–1969	1991–2118	1465–1609	1458–1603
	Tykkelse (m)	135	127	144	145



Figur 3: Placering af prognoselokalitet (rød cirkel) samt placering og kvalitet af seismiske linjer i regionen. Den del af den seismiske linje 72/006, der er fremhævet med fed lilla streg, er anvendt til at fremstille et seismisk profil med tolkede seismiske horisonter i Figur 5. Der findes ingen dybe brønde i nærområdet til prognoselokaliteten.

## 5. Gennemgang af data

I dette afsnit dokumenteres datagrundlaget for estimeringen af de geologiske nøgledata i Tabel 3.1 og delvis hvilke betragtninger og antagelser, der ligger bag dem.

### 5.1 Udbredelse og kontinuitet af formationer og interne reservoirer

#### 5.1.1 Seismisk tolkning og kortlægning

Dybder og tykkelser af udvalgte lagserier i undergrunden ved prognoselokaliteten ses i Tabel 5.1. Gassum Formationens top vurderes at være til stede ca. 1510 m.u.h. ved prognoselokaliteten med en vurderet usikkerhed på  $\pm 10\%$  baseret på de seismiske data. Tykkelsen af formationen vurderes til at være 125 meter med en usikkerhed på omkring  $\pm 20\%$ .

Den seismiske linje 72/006 (Figur 3 og 4) er anvendt til at fremstille et omtrent sydvest–nordøst orienteret seismisk profil, der passerer øst om prognoselokaliteten i en afstand af ca. 700 meter. Profilet er vist med tolkede seismiske horisonter i Figur 5. I den sydvestlige del af profilet ses en markant forkastning, Roskilde Forkastningen, der gennemskærer det meste af lagserien. På hver sin side af prognoselokaliteten er der endvidere identificeret mindre forkastninger, som formodentlig gennemskærer Gassum Formationen. Forkastningernes orienteringer er vanskelig at bestemme på baggrund af de eksisterende seismiske data, og det kan således ikke udelukkes, at de også er til stede i undergrunden ved prognoselokaliteten. I den øvrige del af det seismiske profil fremstår Gassum Formationen forholdsvis uforstyrret. Overordnet set vurderes den strukturelle kontinuitet i området til at være lille på grund af forekomsten af forkastninger, heriblandt den markante Roskilde Forkastning.

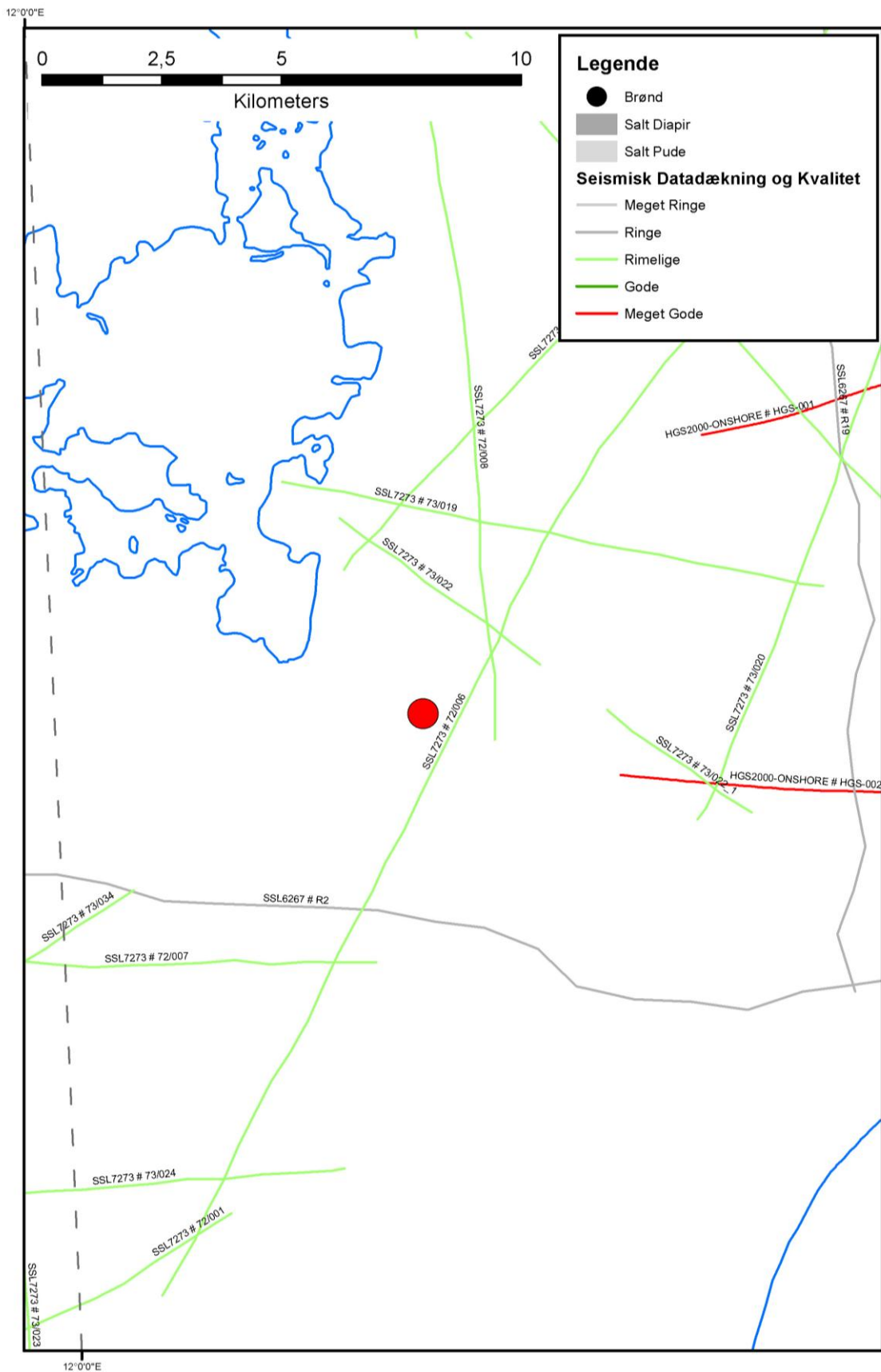
Tabel 5.1: *Dybdeintervaller og tykkelser af udvalgte lagserier ved prognoselokaliteten, som er estimeret på baggrund af seismisk kortlægning og data fra nærmeste borer.*

Prognoselokalitet	Dybdeinterval (m.u.h.)	Tykkelse (m)
Danien kalksten og Kalk Gruppen	30–1310	1280
Nedre Kretassisk enhed <sup>1</sup>	1315–1380	65
Fjerritslev Fm	1390–1510	120
Nedre Jurassisk enhed <sup>1,2</sup>	1450–1510	60
Gassum Fm	1510–1635	125
Bunter Sandsten Fm	2175–2360	185

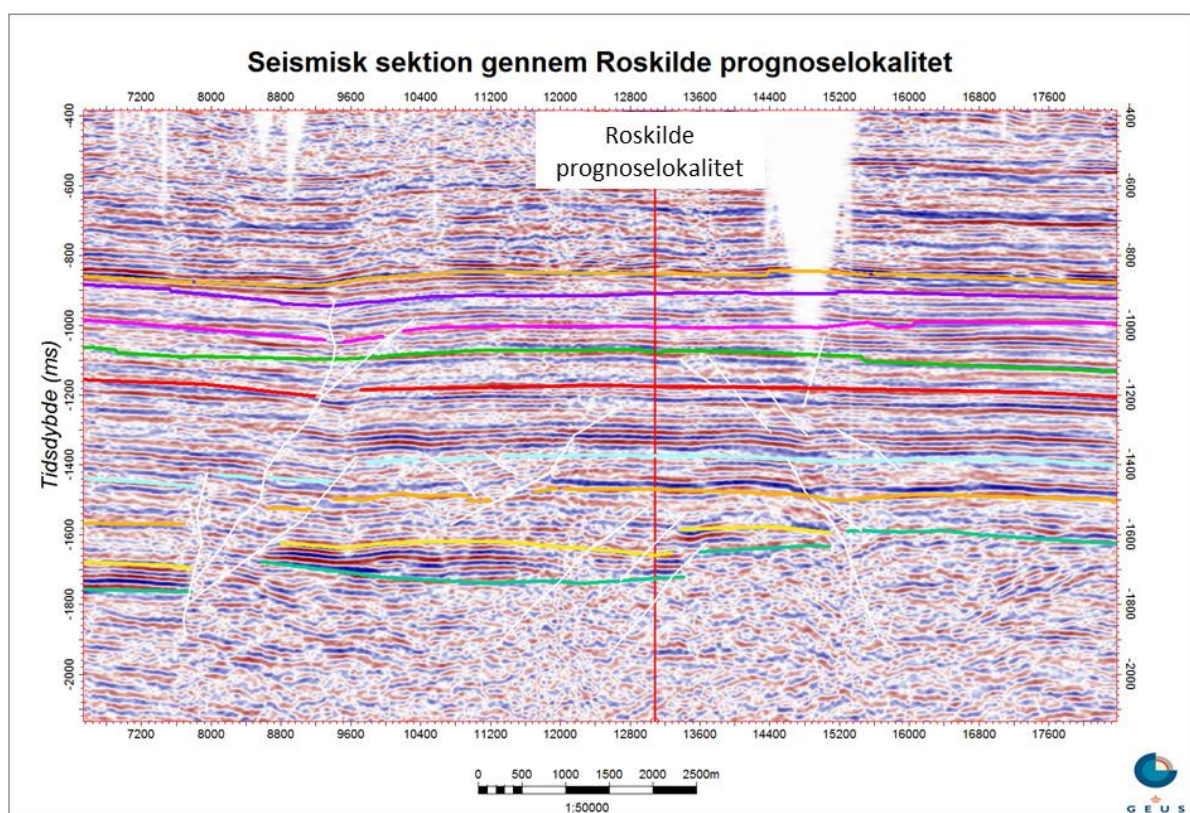
<sup>1</sup> Toppen af både Nedre Kretassisk enhed og Nedre Jurassisk enhed er ikke kortlagt seismisk. Dybden til toppen af enhederne er estimeret ud fra dybden til basis af Kalkgruppen samt data fra nærmeste borer.

<sup>2</sup> Nedre Jurassisk enhed henregnes her til nederste del af Fjerritslev Fm.





Figur 4: Indsamlede seismiske linjer omkring prognoselokaliteten. En del af den seismiske linje 72/006 (markeret på Figur 3) er anvendt til at fremstille et seismisk profil med tolkede seismiske horisonter i Figur 5.



Figur 5: Sydvest–nordøst orienteret seismisk profil baseret på den seismiske linje 72/006, der passerer øst om prognoselokaliteten i en afstand af ca. 700 meter (Figur 3 og 4). Prognoselokaliteten er projiceret vinkelret ind på profilet og er markeret med en rød, lodret streg. I den sydvestlige del af profilet ses Roskilde Forkastningen, der gennemskærer det meste af lagserien, og på hver sin side af prognoselokaliteten ses der endvidere mindre forkastninger; nogle af disse gennemskærer muligvis Gassum Formationen (forkastninger er angivet som stejle hvide streger). Dybde er angivet som seismisk to-vejs-tid i millisekunder. Oppefra og ned er følgende tolkede horisonter vist på figuren: Basis af Kalkgruppen (orange), Top Fjerritslev Fm (lilla), Top Gassum Fm (lyserød), Top Vinding Fm (grøn), intern Trias reflektor (rød), Top Bunter Sandsten Fm (lyseblå), Basis af Bunter Sandsten Fm (orange), Top Zechstein (gul) og Top Pre-Zechstein (turkisgrøn).

### 5.1.2 Boringsdata

Tabel 5.2 giver en oversigt over nogle af de brønde på Sjælland, som giver information om Gassum Formationen. I tabellen ses tykkelsen af formationen i de enkelte brønde. Endvidere er der vist hvor mange meter sandsten (Gross sand), og heraf meter sandsten med gode reservoirgenskaber (Potentielt reservoirsand), formationen er estimeret til at indeholde i brøndene. I afsnit 5.2, og mere udførligt i Geotermi WebGIS portalen, gøres der rede for, hvordan disse størrelser estimeres på baggrund af logdata.

De sjællandske boringsdata understøtter, at Gassum Formationen også er vidt udbredt i den sjællandske undergrund ligesom i den øvrige del af det Danske Bassin. Dette understøttes yderligere af, at der forekommer tidsækvivalente, men mere randnære sedimenter til Gassum Forma-

tionen i det vestlige Skåne (Ahlberg 1994). I de fire nærmeste brønde til prognoselokaliteten varierer tykkelsen af formationen fra 127 til 145 meter (Tabel 5.2), hvilket er lidt mere end den vurderede tykkelse på 125 meter ved prognoselokaliteten, der baserer sig på seismiske data. Dybden til toppen af Gassum Formationen er vurderet til 1510 m.u.h. ved prognoselokaliteten baseret på de seismiske data, hvilket er lavere end i Margretheholm-1/1A (1833 m.u.h.) og Karlebo-1/1A (1991 m.u.h.) men lidt dybere end i Stenlille-1 (1466 m.u.h.) og Stenlille-19 (1458 m.u.h.).

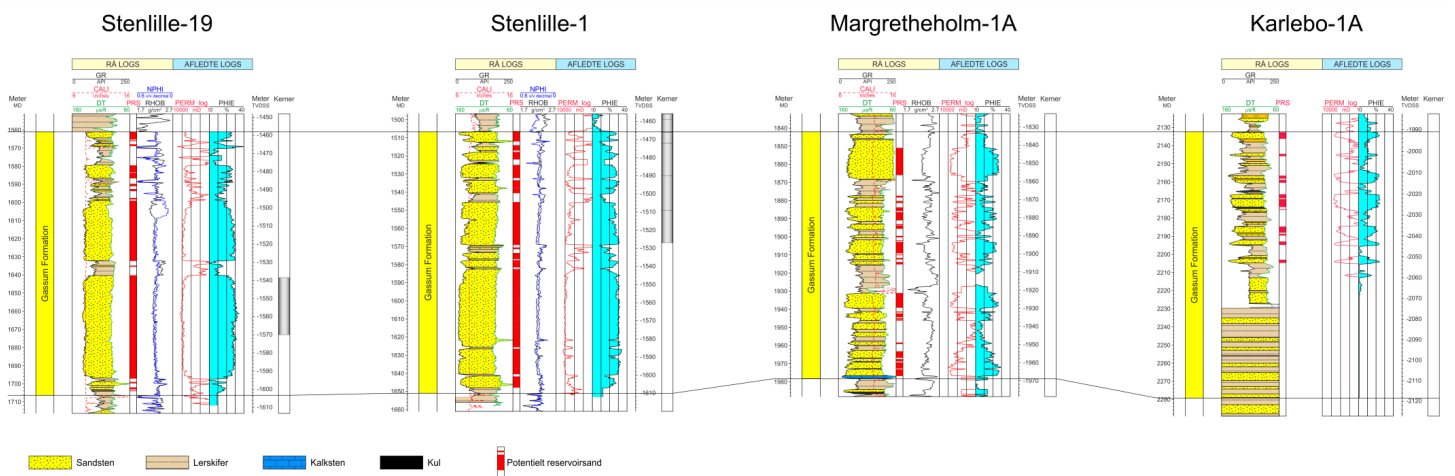
På regional skala viser Gassum Formationen en variation i den interne fordeling af sandsten og lersten; eksemplificeret ved Stenlille-19, Stenlille-1, Margretheholm-1/1A og Karlebo-1/1A i Figur 6. Nogle af sandstensintervallerne kan korreleres regionalt mellem brøndene i form af sekvensstratigrafiske enheder, mens enkelte kiler ud mellem brøndene. En sådan variation afspejler det oprindelige aflejningsmiljø; eksempelvis blev sand i lange tidsrum tilført det Danske Bassin fra det skandinaviske grundfjeldsområde og aflejret som kystsand langs bassinranden, hvorimod en mere silt- og lerholdig sedimentation tog over ude i de kystfjerne, dybere dele af bassinet. I perioder med lavt havniveau rykkede kysten og de bagvedliggende floder længere ud i bassinet, og som følge heraf kan sandstenslagene i undergrunden have en stor udstrækning, hvis de ikke sidenhen er brudt op af forkastninger.

Sandstensintervallerne i Gassum Formationen ved Stenlille afspejler aflejring i floder, estuarier og kystmiljøer. I den øvre del af formationen repræsenterer sandstensintervallerne hovedsageligt kystsandsaflejringer, der har en stor geografisk udbredelse i undergrunden (Hamberg & Nielsen 2000), og flere af disse sandstensintervaller er sandsynligvis også til stede ved prognoselokaliteten. Flod- og estuarie-sandstenene er tolket til at være aflejret indenfor nedskårne dale (Nielsen 2003). Disse har derfor en mere begrænset udbredelse, og det er meget usikkert, om de også er til stede ved Roskilde-lokaliteten. På baggrund heraf, og i mangel af data, vurderes det, at den sedimentologiske kontinuitet mellem de viste boringer i Figur 6 og prognoselokaliteten kan være fra lille til høj.

Tabel 5.2: Tykkelser af Gassum Formationen, estimerede antal meter sandsten (Gross sand), og heraf meter sandsten med gode reservoiregenskaber (Potentielt reservoirsand), i nogle af de sjællandske brønde, hvis omtrentlige placeringer ses på oversigtskortet i Figur 2. Skraverede felter angiver, at andelen af Potentielt reservoirsand ikke kan beregnes på baggrund af de givne logdata.

	Tykkelser/antal meter		
	Formation	Gross sand	Potentielt reservoirsand
<b>Margretheholm-1/1A</b>	135	63	54
<b>Karlebo-1/1A</b>	127	60 <sup>1</sup>	40 <sup>1</sup>
<b>Stenlille-1</b>	144	124	123
<b>Stenlille-19</b>	145	99	98
<b>Lavø-1</b>	75	50	
<b>Slagelse-1</b>	113	101	

<sup>1</sup>Delvis baseret på ekstrapolation af relation mellem lithologi og logdata fremkommet ved et studie af borespåner fra hele formationen og logdata fra den øvre del af formationen i Karlebo-1/1A (Skovgaard Nielsen et al. 2014).



Figur 6: Sammenligning af Gassum Formationen i Stenlille-19, Stenlille-1, Margretheholm-1A og Karlebo-1A, som er de nærmeste brønde til prognoselokaliteten (placering af brønde ses i Figur 2). Formationen er i brøndene vist med dens vertikale tykkelser, og der er således korrigeret for boringernes eventuelle afbøjning. MD: Målt dybde fra referencepunkt på boreplatform (venstre dybdeskala), TVDSS: Vertikale dybde under havniveau (højre dybdeskala).

## 5.2 Reservoirkvalitet

Vurderingen af Gassum Formationens reservoirkvalitet ved prognoselokaliteten tager udgangspunkt i logdata fra de fire nærmeste brønde; Margretheholm-1/1A, Karlebo-1/1A, Stenlille-1 og -19. De to førstnævnte brønde repræsenterer en mere proximal position (tættere på bassinranden) og de to sidstnævnte en mere distal position (længere ude i bassinet) end Roskilde-lokaliteten. I vurderingen af Gassum Formationens reservoirregenskaber ved prognoselokaliteten vægtes data fra Margretheholm-1/1A og Karlebo-1/1A dobbelt i forhold til data fra de to Stenlille-boringer. Dette skyldes, at den nedre del af Gassum Formationen i Stenlille-boringerne indeholder nogle sandstensintervaller med usædvanlig gode reservoirregenskaber, som ikke er identificeret i de nord- og østsjællandske boringer (Mathiesen et al. 2014). Det er derfor meget usikkert om disse sandstensintervaller er til stede i det mellemliggende Roskilde-område. For ikke at overrepræsentere de meget positive reservoirværdier fra sandstensintervallerne i Stenlille-brøndene er der her valgt at vægte reservoirdata fra Margretheholm-1/1A og Karlebo-1/1A højest.

Dybdeintervallet for Gassum Formationen i de fire brønde ses i Tabel 5.3, hvor det også fremgår, at der er udtaget kerner af formationen i Stenlille-1 og -19, men ikke fra de to øvrige boringer. Selve vurderingen af formationens lithologi og reservoirkvalitet ved prognoselokaliteten bygger på en tolkning af borehulslogs kombineret med eksisterende beskrivelser af borespåner og kerner fra de fire boringer (Tethys Oil Denmark 2007, DONG 2003, Datalog Technology 2000, DGU 1981). Kerneintervallerne i Stenlille-1 dækker et samlet interval på ca. 61 meter fra den øverste del af Gassum Formationen, mens kernen fra Stenlille-19 dækker et interval på omkring 31 meter fra den nedre halvdel af formationen (de kernede intervaller fremgår i Figur 6, 9 og 10). De optagne og tolkede logs i de fire brønde er nærmere beskrevet i Tabel 5.4.

De tolkede reservoirværdier for Gassum Formationen i de fire brønde ses i Tabel 5.5–5.8. I Karlebo-1/1A er det kun den øvre del af Gassum Formationen, der er logget, men i tabellen er der opgivet reservoirværdier for hele formationen. Dette er gjort ved at ekstrapolere logdata til den nedre del af formationen baseret på en relation mellem lithologi og logdata fremkommet ved et studie af borespåner fra hele formationen og logdata fra den øvre del af formationen (Skovgaard Nielsen et al. 2014). Karlebo-1/1A er endvidere en boring, der er forholdsvis meget afbøjet og for så vidt muligt at få "sande" tykkelser af formation, Gross sand og Potentielt reservoirsand, er der her regnet i vertikale dybder frem for målte dybder. Beregningen af reservoirparametre er ligeledes baseret på de korrigerede tykkelser.

Usikkerheden på de angivne estimater bygger på en generel og erfaringsmæssig vurdering af tolknings-usikkerheden ved de forskellige typer af data (borehulslogs, porøsitet-permeabilitetssammenhænge etc.). Ved sammenligning af Tabel 5.5–5.8 med Tabel 3.1 fremgår det, at usikkerheden på reservoirværdierne ved prognoselokaliteten generelt er

større end de angivne usikkerheder på reservoirværdierne for de fire brønde. Dette er en naturlig følge af, at en ekstrapolering af dataværdier altid vil medføre en ekstra usikkerhed.

Tabel 5.3: *Overblik over dybdeintervaller i målt dybde fra referencepunkt på boreplatformen (MD) af Gassum Formationen i Margretheholm-1/1A, Karlebo-1/1A, Stenlille-1 og -19 med tilhørende kommentarer om tilgængeligt kernemateriale fra formationen.*

<b>Brønd</b>	<b>Dybdeinterval [m MD]</b>	<b>Kerner [m MD]</b>	<b>Sidevægskerner</b>
<b>Margretheholm-1/1A</b>	1842–1977	Ingen	Ingen
<b>Karlebo-1/1A</b>	2132–2279	Ingen	Ingen
<b>Stenlille-1</b>	1507–1651	1507–1513 1513–1531 1531–1550 1550–1568	I 15 niveauer (heraf 5 uden recovery)
<b>Stenlille-19</b>	1561–1706	1642–1673 <sup>1</sup>	Ingen

<sup>1</sup>Kernen er placeret ca. 12 meter dybere end angivet i Datalog Technology 2000 baseret på en sammenligning af logporøsiteter med kerneporøsiteter.

Tabel 5.4: Liste over rå-logs anvendt i danske onshore borer og tolkede logkurver.

Beskrivelse	Log-navn	Enhed	Log-funktion
Gamma logs	GR	API	Måler naturlig radioaktivitet
	GR_DEN	API	Måler naturlig radioaktivitet sammen med densitetslog
	GR_SON	API	Måler naturlig radioaktivitet sammen med sonic log
Spontaneous potential log	SP	mV	Måler spontaneous potential ('selv-potentialet')
	GRpseudo	mV	Re-skaleret SP log
Sonic logs	DT	microsek/ft	Akustisk log; måler intervalhastighed
	DTCO	microsek/ft	Akustisk log; måler intervalhastighed
Caliper logs	CALI/CAL	Inch/tommer	Måler borehullets diameter
	CAL_NUC	Inch/tommer	Måler borehullets diameter, med neutron log
Resistivetslogs/ Modstandslogs	ILD	Ohm-m	Induktion log; dybt-læsende modstandslog
	ILM	Ohm-m	Induktion log; medium-læsende modstandslog
	LLS	Ohm-m	Laterolog; medium-læsende modstandslog
	LLD	Ohm-m	Laterolog; dybt-læsende modstandslog
	16ft	Ohm-m	Normal modstandslog af ældre dato
	38in	Ohm-m	Normal modstandslog af ældre dato
	10in	Ohm-m	Normal modstandslog af ældre dato
	18F8	Ohm-m	Lateral modstandslog af ældre dato
	64in	Ohm-m	Normal modstandslog af ældre dato
Neutron log	NPHI	fraction	Måler den tilsyneladende porøsitet (neutron-loggen kan være forkortet "NEU")
Densitets logs	RHOB	g/cm <sup>3</sup>	Måler bulk-densiteten af bjergarten
	RHOZ	g/cm <sup>3</sup>	Måler bulk-densiteten af bjergarten
Log-beregnet permeabilitet	PERM_log	mD	Beregnet log-kurve baseret på PHIE
Log-beregnet <i>effektiv</i> porøsitet	PHIE	fraction	Beregnet/tolket log kurve
Kernepermeabilitet	Kh_a	mD	Målt horisontal gas permeabilitet (på plugs)
	CPERM_GEUS	mD	Målt gas permeabilitet (på plugs; GEUS data)
Kerneporøsitet	CPOR	%	Målt porøsitet (på plugs)
	CPOR_GEUS	%	Målt porøsitet (på plugs; GEUS data)
Normaliseret gamma log	GRnorm	API	Beregnet/tolket log kurve
Log-beregnet lermængde	Vshale	fraktion	Beregnet/tolket log kurve
Indikator for potentielt reservoirsand (PRS)	PRS	m	Log-udledt kurve ("flag") der indikerer, hvor der er potentielt reservoirsand (PRS)



Tabel 5.5: *Estimerede reservoirværdier for Gassum Formationen i Margretheholm-1/1A brønden.*

<b>Margretheholm-1/1A</b>				
<b>Gassum Formationen</b>	<b>Estimeret værdi</b>	<b>Vurderet usikkerhed <sup>1</sup></b>	<b>Usikkerhedsinterval<sup>2</sup></b>	
			<b>[MinCase - MaxCase]</b>	
<b>Makro reservoirparametre</b>				
Dybde til top af formation [m.u.h.]	1833	1 <sup>3</sup>	1814–1851 <sup>3</sup>	
Tykkelse af formation [m]	135	1 <sup>3</sup>	134–136 <sup>3</sup>	
<b>Andel af sandsten i formationen</b>				
Tykkelse af Gross sand [m]	63	5 <sup>3</sup>	60–66 <sup>3</sup>	
Tykkelse af Potentielt reservoirsand <sup>4</sup> [m]	54	5 <sup>3</sup>	51–56 <sup>3</sup>	
Potentielt reservoirsand/formation <sup>5</sup>	0,40	5 <sup>3</sup>	0,38–0,42 <sup>3</sup>	
Potentielt reservoirsand/Gross sand <sup>6</sup>	0,85	5 <sup>3</sup>	0,80–0,89 <sup>3</sup>	
<b>Vandlede egenskaber (reservoirsand)</b>				
Porøsitet [%]	22	5 <sup>3</sup>	21–23 <sup>3</sup>	
Gas-permeabilitet [mD]	300	4 <sup>7</sup>	75–1200 <sup>7</sup>	
Reservoir-permeabilitet <sup>8</sup> [mD]	375	4 <sup>7</sup>	94–1500 <sup>7</sup>	
Reservoir-transmissivitet (Kh) <sup>9</sup> [Dm]	20	4 <sup>7</sup>	5–80 <sup>7</sup>	
<b>Tekstur og cementering (sandsten)</b>		<b>Vurdering</b>		
Kornstørrelse/sortering/afrundingsgrad	Fin, stedvis mellemkornet; sorteret til velsorteret; subafrundede til afrundede, enkelte steder subkantede korn			
Diagenese/cementering	Løs til fast, stedvis hård, kalkfri til kalkholdig i varierende grad, stedvis pyrit-cementeret			

<sup>1</sup> *Vurderet usikkerhed* benyttes til udregning af *Usikkerhedsinterval* og er erfarings- og vidensbaseret (se tekst for nærmere uddybning).

<sup>2</sup> *Usikkerhedsinterval* angiver variationsbredden for *Estimeret værdi* og kontrolleres af omfang og kvalitet af det tilgængelige datagrundlag.

<sup>3</sup> *Vurderet usikkerhed* (målt i relative %). *Usikkerhedsinterval* givet ved *Estimeret værdi* +/- *Vurderet usikkerhed* (målt i relative %).

<sup>4</sup> *Tykkelse af Potentielt reservoirsand* er estimeret ud fra afskæringskriterier på Vshale (< 30 %) og logporøsitet (> 15 %).

<sup>5</sup> *Tykkelse af Potentielt reservoirsand* divideret med *Tykkelse af formation*.

<sup>6</sup> *Tykkelse af Potentielt reservoirsand* divideret med *Tykkelse af Gross sand*.

<sup>7</sup> *Usikkerhedsinterval* givet ved *Estimeret værdi* divideret/ganget med *Vurderet usikkerhed*.

<sup>8</sup> *Reservoir-permeabilitet* er den permeabilitet, som forventes målt i forbindelse med en pumpetest eller en brøndtest. *Reservoir-permeabiliteten* er estimeret ved at multiplicere *Gas-permeabilitet* med en opskaleringsfaktor på 1,25.

<sup>9</sup> *Reservoir-transmissiviteten* er estimeret ud fra tolkning af logdata samt analyse af kernedata. *Reservoir-transmissiviteten* er opskaleret til reservoirforhold.

Tabel 5.6: *Estimerede reservoirværdier for Gassum Formationen i Karlebo-1/1A brønden.*

<b>Karlebo-1/1A</b>			
<b>Gassum Formationen</b>	<b>Estimeret værdi</b>	<b>Vurderet usikkerhed<sup>1</sup></b>	<b>Usikkerhedsinterval<sup>2</sup></b>
			<b>[MinCase - MaxCase]</b>
<b>Makro reservoirparametre</b>			
Dybde til top af formation [m.u.h.]	1991	1 <sup>3</sup>	1971–2011 <sup>3</sup>
Tykkelse af formation <sup>10</sup> [m]	127	1 <sup>3</sup>	126–129 <sup>3</sup>
<b>Andel af sandsten i formationen</b>			
Tykkelse af Gross sand <sup>10</sup> [m]	60	5 <sup>3</sup>	57–63 <sup>3</sup>
Tykkelse af Potentielt reservoirsand <sup>4,10</sup> [m]	40	5 <sup>3</sup>	38–42 <sup>3</sup>
Potentielt reservoirsand/formation <sup>5</sup>	0,31	5 <sup>3</sup>	0,30–0,33 <sup>3</sup>
Potentielt reservoirsand/Gross sand <sup>6</sup>	0,67	5 <sup>3</sup>	0,63–0,70 <sup>3</sup>
<b>Vandlevende egenskaber (reservoirsand)</b>			
Porøsitet [%]	20	6 <sup>3</sup>	19–21 <sup>3</sup>
Gas-permeabilitet [mD]	290	5 <sup>7</sup>	58–1450 <sup>7</sup>
Reservoir-permeabilitet <sup>8</sup> [mD]	360	5 <sup>7</sup>	72–1800 <sup>7</sup>
Reservoir-transmissivitet (Kh) <sup>9</sup> [Dm]	15	5 <sup>7</sup>	3–75 <sup>7</sup>
<b>Tekstur og cementering (sandsten)</b>		<b>Vurdering</b>	
Kornstørrelse/sortering/afrundingsgrad		Meget fin til mellem i kornstørrelse, i enkelte niveauer også grov; sorteret til velsorteret, stedvis ringe sorteret til sorteret; subkantede til subafrundede, stedvis afrundede korn	
Diagenese/cementering		Løs til moderat hård, kvarts cement, stedvis kalkholdig	

<sup>1</sup> *Vurderet usikkerhed* benyttes til udregning af *Usikkerhedsinterval* og er erfarings- og vidensbaseret (se tekst for nærmere uddybning).

<sup>2</sup> *Usikkerhedsinterval* angiver variationsbredden for *Estimeret værdi* og kontrolleres af omfang og kvalitet af det tilgængelige datagrundlag.

<sup>3</sup> *Vurderet usikkerhed* (målt i relative %). *Usikkerhedsinterval* givet ved *Estimeret værdi* +/- *Vurderet usikkerhed* (målt i relative %).

<sup>4</sup> *Tykkelse af Potentielt reservoirsand* er estimeret ud fra afskæringskriterier på Vshale (< 30 %) og logporøsitet (> 15 %). Tykkelsen er korrigeret for boringens afbøjning.

<sup>5</sup> *Tykkelse af Potentielt reservoirsand* divideret med *Tykkelse af formation*.

<sup>6</sup> *Tykkelse af Potentielt reservoirsand* divideret med *Tykkelse af Gross sand*.

<sup>7</sup> *Usikkerhedsinterval* givet ved *Estimeret værdi* divideret/ganget med *Vurderet usikkerhed*.

<sup>8</sup> *Reservoir-permeabilitet* er den permeabilitet, som forventes målt i forbindelse med en pumpe-test eller en brøndtest. *Reservoir-permeabiliteten* er estimeret ved at multiplicere *Gas-permeabilitet* med en opskaleringsfaktor på 1,25.

<sup>9</sup> *Reservoir-transmissiviteten* er estimeret ud fra tolkning af logdata samt analyse af kernedata. *Reservoir-transmissiviteten* er opskaleret til reservoirforhold.

<sup>10</sup> Tykkelsen er korrigeret for boringens afbøjning. Tykkelsen af både Gross sand og Potentielt reservoirsand er delvis fastlagt efter skøn, da Gassum Formationen kun er delvis logget.

Tabel 5.7: *Estimerede reservoirværdier for Gassum Formationen i Stenlille-1 brønden.*

<b>Stenlille-1</b>			
<b>Gassum Formationen</b>	<b>Estimeret værdi</b>	<b>Vurderet usikkerhed <sup>1</sup></b>	<b>Usikkerhedsinterval<sup>2</sup></b>
			<b>[MinCase - MaxCase]</b>
<b>Makro reservoirparametre</b>			
Dybde til top af formation [m.u.h.]	1466	1 <sup>3</sup>	1451–1480 <sup>3</sup>
Tykkelse af formation [m]	144	1 <sup>3</sup>	143–146 <sup>3</sup>
<b>Andel af sandsten i formationen</b>			
Tykkelse af Gross sand [m]	124	5 <sup>3</sup>	118–130 <sup>3</sup>
Tykkelse af Potentielt reservoirsand <sup>4</sup> [m]	123	5 <sup>3</sup>	116–129 <sup>3</sup>
Potentielt reservoirsand/formation <sup>5</sup>	0,85	5 <sup>3</sup>	0,81–0,89 <sup>3</sup>
Potentielt reservoirsand/Gross sand <sup>6</sup>	0,99	5 <sup>3</sup>	0,94–1,00 <sup>3</sup>
<b>Vandlevende egenskaber (reservoirsand)</b>			
Porøsitet [%]	27	5 <sup>3</sup>	26–28 <sup>3</sup>
Gas-permeabilitet [mD]	725	3 <sup>7</sup>	242–2175 <sup>7</sup>
Reservoir-permeabilitet <sup>8</sup> [mD]	906	3 <sup>7</sup>	302–2718 <sup>7</sup>
Reservoir-transmissivitet (Kh) <sup>9</sup> [Dm]	111	3 <sup>7</sup>	37–333 <sup>7</sup>
<b>Tekstur og cementering (sandsten)</b>		<b>Vurdering</b>	
Kornstørrelse/sortering/afrundingsgrad	Fin til mellem kornstørrelse, stedvis mellem til grov i den nedre halvdel af formationen; velsorteret; subkantede til subafrundede korn		
Diagenese/cementering	Løs til fast, kalkfri til kalk-cementeret, stedvis kvarts-cementeret		

<sup>1</sup> *Vurderet usikkerhed* benyttes til udregning af *Usikkerhedsinterval* og er erfarings- og vidensbaseret (se tekst for nærmere uddybning).

<sup>2</sup> *Usikkerhedsinterval* angiver variationsbredden for *Estimeret værdi* og kontrolleres af omfang og kvalitet af det tilgængelige datagrundlag.

<sup>3</sup> *Vurderet usikkerhed* (målt i relative %). *Usikkerhedsinterval* givet ved *Estimeret værdi* +/- *Vurderet usikkerhed* (målt i relative %).

<sup>4</sup> *Tykkelse af Potentielt reservoirsand* er estimeret ud fra afskæringskriterier på Vshale (< 30 %) og log-porøsitet (> 15 %).

<sup>5</sup> *Tykkelse af Potentielt reservoirsand* divideret med *Tykkelse af formation*.

<sup>6</sup> *Tykkelse af Potentielt reservoirsand* divideret med *Tykkelse af Gross sand*.

<sup>7</sup> *Usikkerhedsinterval* givet ved *Estimeret værdi* divideret/ganget med *Vurderet usikkerhed*.

<sup>8</sup> *Reservoir-permeabilitet* er den permeabilitet, som forventes målt i forbindelse med en pumpetest eller en brøndtest. *Reservoir-permeabiliteten* er estimeret ved at multiplicere *Gas-permeabilitet* med en opskaleringsfaktor på 1,25.

<sup>9</sup> *Reservoir-transmissiviteten* er estimeret ud fra tolkning af logdata samt analyse af kernedata. *Reservoir-transmissiviteten* er opskaleret til reservoirforhold.

Tabel 5.8: *Estimerede reservoirværdier for Gassum Formationen i Stenlille-19 brønden.*

<b>Stenlille-19</b>			
<b>Gassum Formationen</b>	<b>Estimeret værdi</b>	<b>Vurderet usikkerhed <sup>1</sup></b>	<b>Usikkerhedsinterval<sup>2</sup></b>
			<b>[MinCase - MaxCase]</b>
<b>Makro reservoirparametre</b>			
Dybde til top af formation [m.u.h.]	1458	1 <sup>3</sup>	1444–1473 <sup>3</sup>
Tykkelse af formation [m]	145	1 <sup>3</sup>	143–146 <sup>3</sup>
<b>Andel af sandsten i formationen</b>			
Tykkelse af Gross sand [m]	99	5 <sup>3</sup>	94–104 <sup>3</sup>
Tykkelse af Potentielt reservoirsand <sup>4</sup> [m]	98	5 <sup>3</sup>	93–103 <sup>3</sup>
Potentielt reservoirsand/formation <sup>5</sup>	0,68	5 <sup>3</sup>	0,64–0,71 <sup>3</sup>
Potentielt reservoirsand/Gross sand <sup>6</sup>	0,99	5 <sup>3</sup>	0,94–1,00 <sup>3</sup>
<b>Vandlevende egenskaber (reservoirsand)</b>			
Porøsitet [%]	27	5 <sup>3</sup>	26–29 <sup>3</sup>
Gas-permeabilitet [mD]	1000	3 <sup>7</sup>	333–3000 <sup>7</sup>
Reservoir-permeabilitet <sup>8</sup> [mD]	1250	3 <sup>7</sup>	417–3750 <sup>7</sup>
Reservoir-transmissivitet (Kh) <sup>9</sup> [Dm]	123	3 <sup>7</sup>	41–369 <sup>7</sup>
<b>Tekstur og cementering (sandsten)</b>		<b>Vurdering</b>	
Kornstørrelse/sortering/afrundingsgrad	Meget fin til mellem i kornstørrelse; sorteret til velsorteret; subkantede til subafrundede korn		
Diagenese/cementering	Løs, spor af calcit og pyrit		

<sup>1</sup> *Vurderet usikkerhed* benyttes til udregning af *Usikkerhedsinterval* og er erfarings- og vidensbaseret (se tekst for nærmere uddybning).

<sup>2</sup> *Usikkerhedsinterval* angiver variationsbredden for *Estimeret værdi* og kontrolleres af omfang og kvalitet af det tilgængelige datagrundlag.

<sup>3</sup> *Vurderet usikkerhed* (målt i relative %). *Usikkerhedsinterval* givet ved *Estimeret værdi* +/- *Vurderet usikkerhed* (målt i relative %).

<sup>4</sup> *Tykkelse af Potentielt reservoirsand* er estimeret ud fra afskæringskriterier på Vshale (< 30 %) og log-porøsitet (> 15 %).

<sup>5</sup> *Tykkelse af Potentielt reservoirsand* divideret med *Tykkelse af formation*.

<sup>6</sup> *Tykkelse af Potentielt reservoirsand* divideret med *Tykkelse af Gross sand*.

<sup>7</sup> *Usikkerhedsinterval* givet ved *Estimeret værdi* divideret/ganget med *Vurderet usikkerhed*.

<sup>8</sup> *Reservoir-permeabilitet* er den permeabilitet, som forventes målt i forbindelse med en pumpetest eller en brøndtest. *Reservoir-permeabiliteten* er estimeret ved at multiplicere *Gas-permeabilitet* med en opskaleringsfaktor på 1,25.

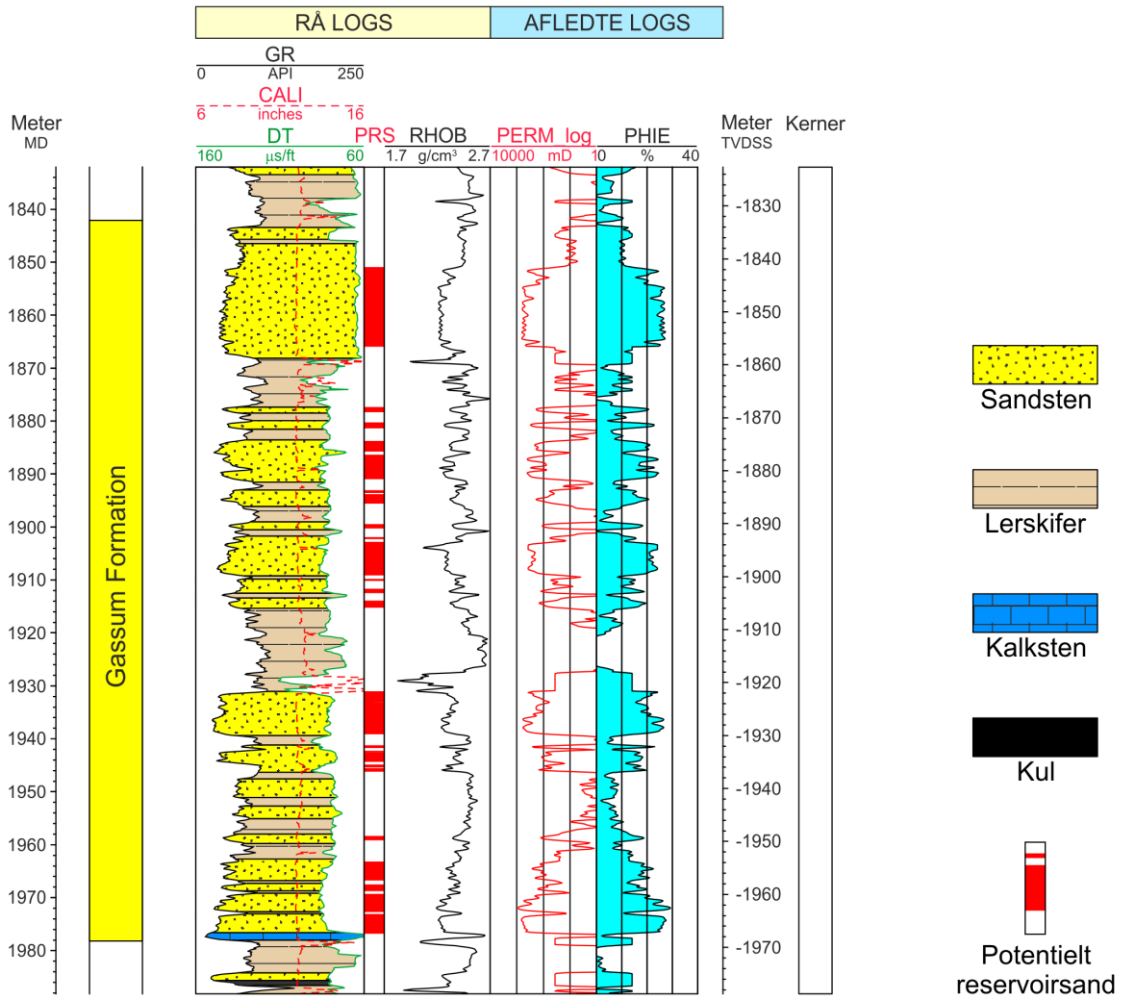
<sup>9</sup> *Reservoir-transmissiviteten* er estimeret ud fra tolkning af logdata samt analyse af kernedata. *Reservoir-transmissiviteten* er opskaleret til reservoirforhold.

### 5.2.1 Tolkning af lithologi

På baggrund af logdata og eksisterende beskrivelser af opboret materiale fra Margretheholm-1/1A, Karlebo-1/1A, Stenlille-1 og -19 borerne har GEUS tolket variationen af den bjergartsmæssige sammensætning indenfor Gassum Formationen, dvs. en tolkning af lithologien og primært fordelingen af sand- og lersten (Figur 6–10). Borespåne- og kernebeskrivelserne understøtter log-tolkningen, og endvidere fremgår det af beskrivelserne, at sandstenene i Gassum Formationen hovedsageligt er fin- til mellemkornede og sorterede

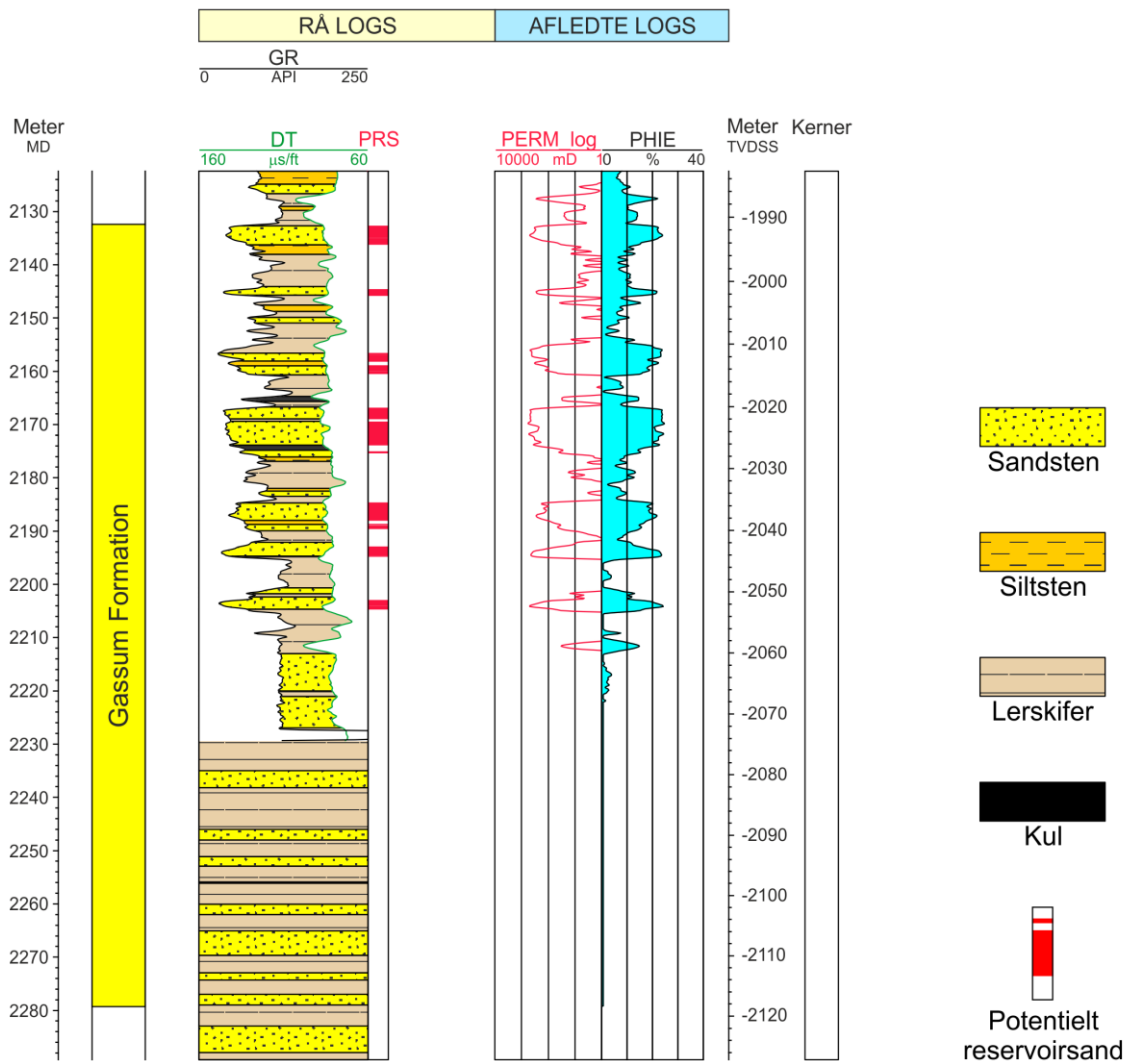
til velsorterede med subkantede til afrundede sandskorn (Tethys Oil Denmark 2007, DONG 2003, Datalog Technology 2000, DGU 1981). Desuden angives sandstenene generelt til at være løse til faste og stedvis kalk- eller kvarts-cementerede.

## Margrethholm-1A



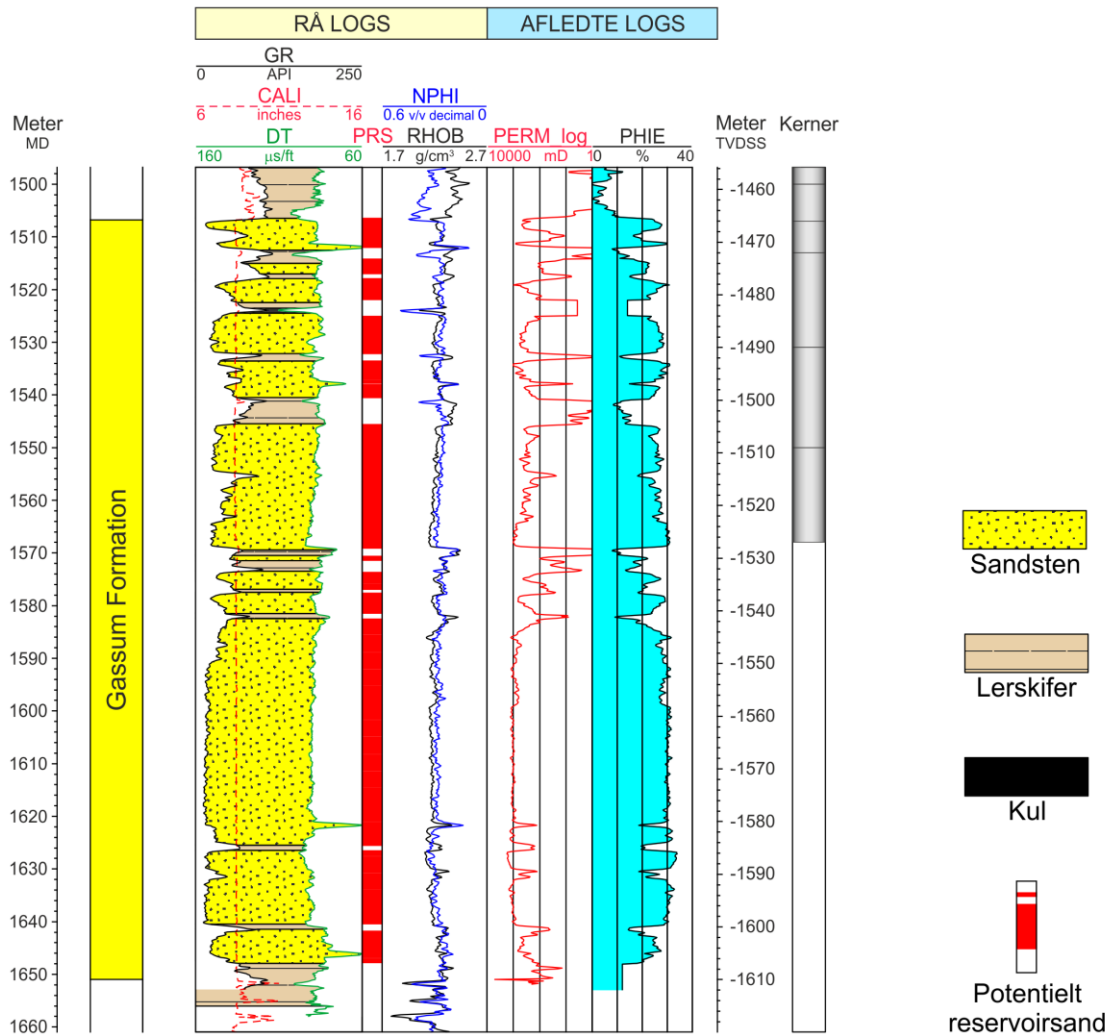
Figur 7: Petrofysisk log-tolkning af Gassum Formationen i Margrethholm-1/1A inklusiv en tolkning af lithologien. Lithologi-kolonnen er afgrænset af gamma (GR) og sonic (DT) loggene. Sektioner med Potentielt reservoirsand (PRS) er markeret med rødt fyld. Porøsitets-estimatet (PHIE) er fremhævet med lyseblåt fyld, og permeabilitets-estimatet (PERM\_log) er plottet som en rød kurve. Logforkortelserne er forklaret i Tabel 5.4. Formationen er i boringen vist med dens vertikale tykkelse. MD: Målt dybde fra referencepunkt på boreplatform, TVDSS: Vertikale dybde under havniveau.

# Karlebo-1A



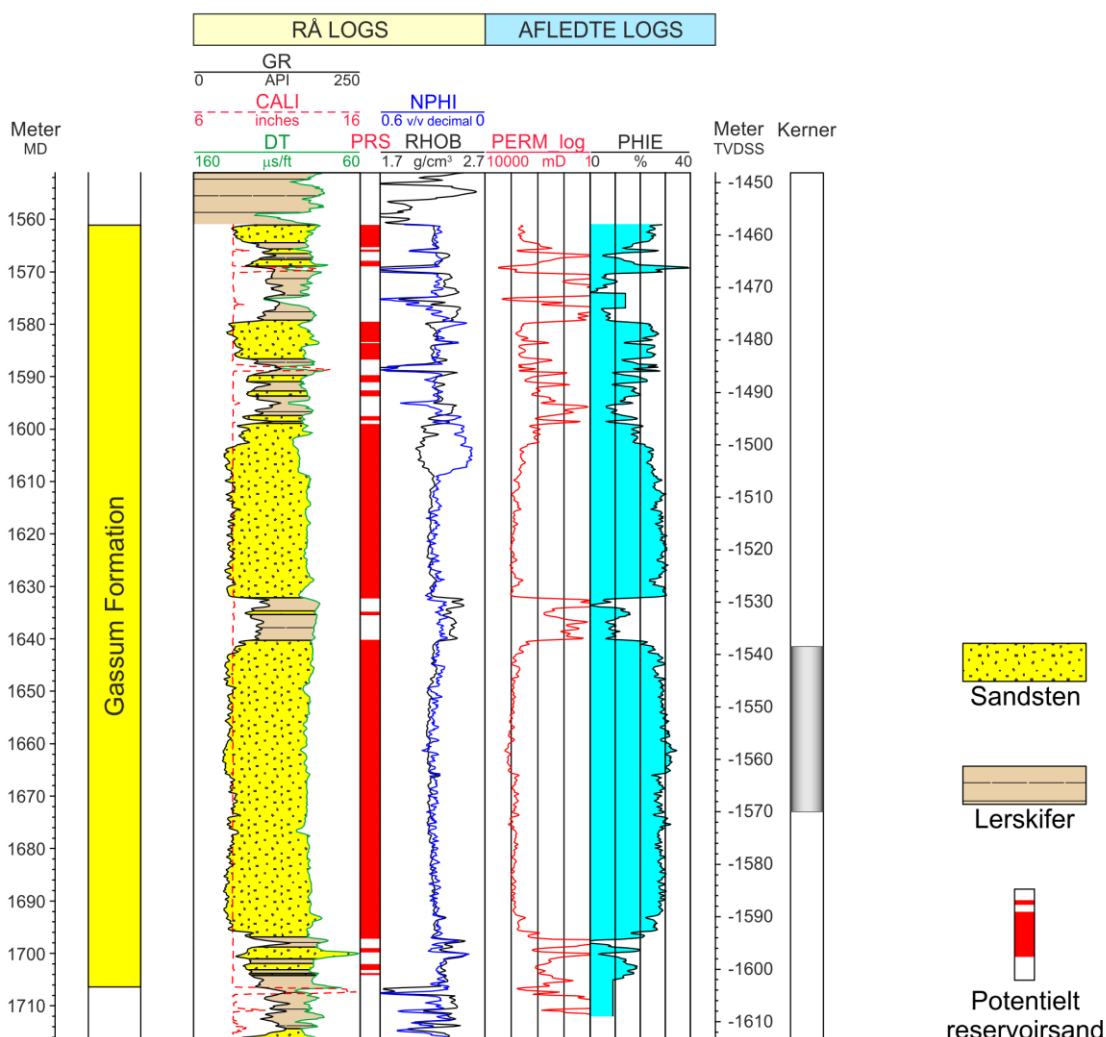
Figur 8: Petrofysisk log-tolkning af Gassum Formationen i Karlebo-1/1A inklusiv en tolkning af lithologien. Lithologi-kolonnen er afgrænset af gamma (GR) og sonic (DT) loggene. Sektioner med Potentielt reservoirsand (PRS) er markeret med rødt fyld. Porøsitetsestimatet (PHIE) er fremhævet med lyseblåt fyld, og permeabilitets-estimatet (PERM\_log) er plottet som en rød kurve. Logforkortelserne er forklaret i Tabel 5.4. Formationen er i boringen vist med dens vertikale tykkelse. MD: Målt dybde fra referencepunkt på boreplatform, TVDSS: Vertikale dybde under havniveau.

# Stenlille-1



Figur 9: Petrofysisk log-tolkning af Gassum Formationen i Stenlille-1 inklusiv en tolkning af lithologien. Lithologi-kolonnen er afgrænset af gamma (GR) og sonic (DT) loggene. Sektioner med Potentielt reservoirsand (PRS) er markeret med rødt fyld. Porøsitetsestimatet (PHIE) er fremhævet med lyseblåt fyld, og permeabilitets-estimatet (PERM\_log) er plottet som en rød kurve. Logforkortelserne er forklaret i Tabel 5.4. Formationen er i boringen vist med dens vertikale tykkelse. MD: Målt dybde fra referencepunkt på boreplatform, TVDSS: Vertikale dybde under havniveau.

# Stenlille-19



Figur 10: Petrofysisk log-tolkning af Gassum Formationen i Stenlille-19 inklusiv en tolkning af lithologien. Lithologi-kolonnen er afgrænset af gamma (GR) og sonic (DT) loggene. Sektioner med Potentielt reservoirsand (PRS) er markeret med rødt fyld. Porøsitetsestimatet (PHIE) er fremhævet med lyseblåt fyld, og permeabilitets-estimatet (PERM\_log) er plottet som en rød kurve. Logforkortelserne er forklaret i Tabel 5.4. Formationen er i boringen vist med dens vertikale tykkelse. MD: Målt dybde fra referencepunkt på boreplatform, TVDSS: Vertikale dybde under havniveau.



### 5.2.2 Vurdering af tykkelser, lerindhold og porøsitet

I Margretheholm-1/1A, Karlebo-1/1A, Stenlille-1 og -19 er Gassum Formationen henholdsvis 135, 127, 144 og 145 meter tyk, hvoraf Gross sand udgør ca. 63 meter i Margretheholm-1/1A, ca. 60 meter i Karlebo-1/1A, ca. 124 meter i Stenlille-1 og ca. 99 meter i Stenlille-19 (Tabel 5.2). Tolkningen af Gross-sandets tykkelse er baseret på en forudgående tolkning af ler-mængden ud fra gamma-loggen, idet det antages, at mængden af ler er proportional med gamma-loggens respons fratrukket baggrundsstrålingen (Tabel 5.9). På baggrund af tolkningen af ler-mængden er andelen af Gross sand herefter bestemt som den del af et givet dybdeinterval, der har et ler-indhold på mindre end 30 %. Forholdet mellem tykkelsen af Gross sand og formations-tykkelse i de fire borer er: 0,47 i Margretheholm-1/1A; 0,47 i Karlebo-1/1A; 0,86 i Stenlille-1 og 0,68 i Stenlille-19. I en gennemsnitsbetragtning, men hvor data fra Margretheholm-1/1A og Karlebo-1/1A som tidligere omtalt vægtes dobbelt, fås et forhold på 0,57. Denne gennemsnitsværdi er anvendt til at vurdere tykkelsen af Gross sand ved prognoselokaliteten, hvor Gassum Formationen er vurderet til at være 125 meter tyk. Gross sand er således vurderet til 71 meter ved prognoselokaliteten (givet ved  $0,57 \times 125$  meter).

Andelen af Potentielt reservoirsand er i de 4 borer vurderet ud fra den log-tolkede porøsitet samt lermængden, idet der både stilles krav til en vis minimumsporøsitet og et maksimalt lerindhold. GEUS har i den forbindelse valgt at definere Potentielt reservoirsand ud fra følgende kriterier: porøsiteten (PHIE) skal være større end 15 %, og samtidig skal lerindholdet (Vshale) være mindre end 30 %. Ud fra disse kriterier er mængden af Potentielt reservoirsand i Gassum Formationen vurderet til ca. 54 meter i Margretheholm-1/1A, ca. 40 meter i Karlebo-1/1A, ca. 123 meter i Stenlille-1 og ca. 98 meter i Stenlille-19 (Tabel 5.2). Forholdet mellem tykkelsen af Potentielt reservoirsand og Gross sand i de fire borer er: 0,85 i Margretheholm-1/1A; 0,67 i Karlebo-1/1A; 0,99 i Stenlille-1 og ligeledes 0,99 i Stenlille-19. I en gennemsnitsbetragtning, men hvor data fra Margretheholm-1/1A og Karlebo-1/1A vægtes dobbelt, fås et forhold på 0,84. Denne gennemsnitsværdi er anvendt til at vurdere tykkelsen af Potentielt reservoirsand ved prognoselokaliteten, hvor Gross sand er vurderet til 71 meter. Potentielt reservoirsand er således vurderet til ca. 59 meter ved prognoselokaliteten (givet ved  $0,84 \times 71$  meter).

Den gennemsnitlige porøsitet af reservoir-sandet er ud fra log-tolkning bestemt til 22 % i Margretheholm-1/1A, 20 % i Karlebo-1/1A, 27 % i Stenlille-1 og ligeledes 27 % i Stenlille-19 (Tabel 5.5–5.8). I den vægtede gennemsnitsbetragtning svarer dette til, at reservoirsandstenene ved prognoselokaliteten tilskrives en porøsitet på 23 %. Porøsitetstolkningen af Karlebo-1/1A boringen er baseret på en ler-korrigeret sonic-log, hvorimod porøsitetstolkningen af Margretheholm-1/1A og Stenlille-boringerne er baseret på en ler-korrigeret densitets-log, og der er i den forbindelse anvendt en sandstens-densitet på  $2,65 \text{ g/cm}^3$  svarende til densiteten for ren kvarts.

Tabel 5.9: Responsparametre for gamma (GR) log for Margretheholm-1/1A, Karlebo-1/1A, Stenlille-1 og Stenlille-19 borerne.

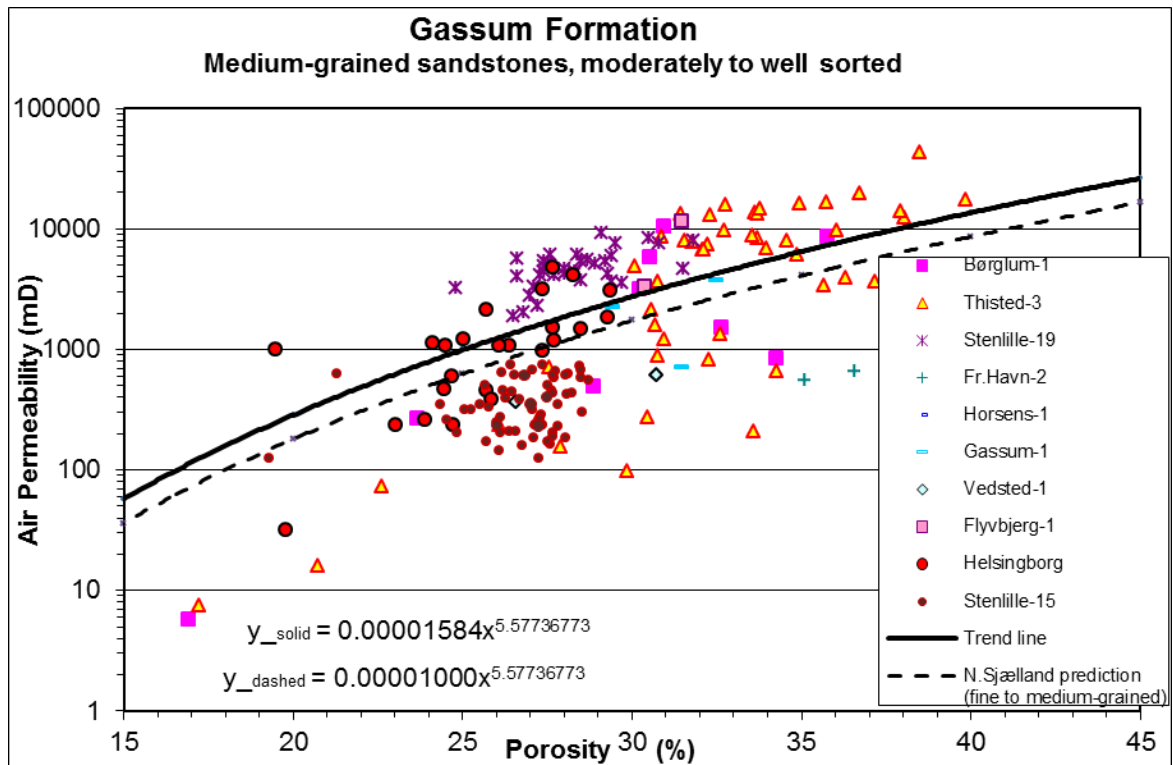
Responsparametre for gamma-log (GR)	GR_min (baggrundsstråling)	GR_max (respons for rent ler)
Margretheholm-1/1A	90	160
Karlebo-1/1A	75	163
Stenlille-1	15	125
Stenlille-19	45	150

### 5.2.3 Permeabilitet

For det sjællandske område findes der kun kernemateriale af Gassum Formationen fra Stenlille-boringer samt sidevægskerner fra Margretheholm-2. Porøsiteten og permeabiliteten er bestemt på udvalgt kernemateriale fra disse, og målingerne indgår i en porøsitet-permeabilitetsrelation, som også bygger på kernemålinger fra boringer udenfor Sjælland, blandt andet fra en række jyske boringer samt konventionelle kerneanalyse-data på aflejringer ækvivalente til Gassum Formationen fra boringer i Helsingborg (Figur 11). De plottede data i Figur 11 repræsenterer mellemkornede sandsten, men da reservoirbjergarten i det Sjællandske område anses for at være fin- til mellemkornet, skal den *fuldt optrukne* tendenslinje modificeres for at kompensere for forskel i kornstørrelsen. Baseret på kerneprøver fra Gassum Formationen (egentlig Gassum Formation ækvivalent) fra Helsingborg samt borespåne-prøver fra Karlebo-1/1A boringen er det GEUS vurdering, at Gassum Formationen indenfor det Nordsjællandske område overordnet set består af cirka 2/3 mellemkornet sandsten og 1/3 finkornet sandsten (Hjuler et al. 2014). På den baggrund er der beregnet en "Nordsjællands-linje", der tager højde for den lidt finere kornstørrelse i Nordsjælland (*stiplede linje* i Figur 11). Da data fra Stenlille-området også peger på en reservoirbjergart bestående hovedsageligt af fin- til mellemkornet sandsten, forventer GEUS, at den her beskrevne sammensætning af reservoirbjergarten også er gældende for Roskilde-området. På den baggrund antager GEUS, at "Nordsjællands-linjen", dvs. porøsitet-permeabilitets relationen vist på Figur 11, også gælder for Roskilde-området.

Permeabiliteten er dernæst beregnet for hver log-læsning, dvs. log-porøsiteterne er omregnet til log-permeabiliteter for hver halve fod (15 cm). Under anvendelse af de føromtaltte 'cut-off' værdier (afsnit 5.2.2) er den gennemsnitlige gas-permeabilitet (vægtet gennemsnit) for reservoirsandstenene estimeret til ca. 300 mD for Margretheholm-1/1A, ca. 290 mD for Karlebo-1/1A, ca. 725 mD for Stenlille-1 og ca. 1000 mD for Stenlille-19. Dette svarer til reservoir-permeabiliteter på omtrent 375, 360, 906 og 1250 mD for henholdsvis Margretheholm-1/1A, Karlebo-1/1A, Stenlille-1 og -19. I den vægtede gennemsnitsbetragtning svarer dette til, at reservoirsandstenene ved prognoselokaliteten tilskrives en gennemsnitlig gas-permeabilitet på 484 mD og en reservoir-permeabilitet på 604 mD.

Beregningen af reservoir-permeabiliteten bygger på en opskalering af de laboratoriebestemte gas-permeabiliteter til reservoirforhold efterfulgt af omregning til væske-permeabilitet. Fra Stenlille-1 til Stenlille-5 foreligger der produktionstest og på baggrund af disse vurderes reservoirpermeabiliteten til at være i størrelsesorden 100–750 mD (Mathiesen et al. 2014), hvilket er lidt mindre end den estimerede værdi på 906 mD for Stenlille-1 i det ovenstående. Dette skyldes, at det kun er intervaller fra den øvre del af Gassum Formationen, der er testet i Stenlille-1; den mere høj-permeable nedre del af Gassum Formationen indgår således ikke i test-intervallet. Da vurderingen af sandstenenes permeabilitet ved prognoselokaliteten i det væsentligste bygger på erfaringsmæssige sammenhænge, og da kernemålingerne viser en forholdsvis stor spredning, er det vanskeligt at bestemme en repræsentativ gennemsnits-permeabilitet. Det er følgelig hensigtsmæssigt at vurdere usikkerheden på permeabilitets-bestemmelsen ved hjælp af modeller og analogier. For eksempel udviser data fra Stenlille-boringerne generelt set mindre spredning end de regionale data, og på baggrund af de lokale Stenlille data vurderes det, at usikkerhedsbåndet i en optimistisk tolkning kan beskrives ved en dividere/gange faktor på 3. Der er ikke indtegnet et usikkerhedsbånd på porøsitet-permeabilitetsplottet, men "High" og "Low" case kan umiddelbart vurderes ud fra følgende: "High case" kan beskrives med en tendenslinje, der fremkommer ved at gange "Nordsjællands-linjen" med 3, og "Low case" fremkommer ved at dividere "Nordsjællands-linjen" med 3. I en mere gængs tolkning vurderes usikkerhedsbåndet dog til at være lidt bredere, dvs. variationsbredden beskrives her med udgangspunkt i en dividere/gange faktor på 5.



Figur 11: Generaliseret sammenhæng mellem porøsitet og permeabilitet estimeret ud fra kerneanalyse data, dvs. målinger af porøsitet og permeabilitet på små plug prøver, primært fra mellemkornede sandstenslag i Gassum Formationen. Den fuldt optrukne linje repræsenterer tendenslinjen for de plottede datapunkter. Den stiplede linje antages at være gældende for Nordsjælland og tilgrænsende områder, herunder også Roskilde-området. Forskellen på forløbet af de to tendenslinjer beror på, at Gassum reservoiret på Sjælland ikke udelukkende består af mellemkornet sandsten, men er en blanding af både fin- og mellemkornet sandsten. Usikkerheden på porøsitet-permeabilitets relationen er beskrevet og perspektiveret i teksten.

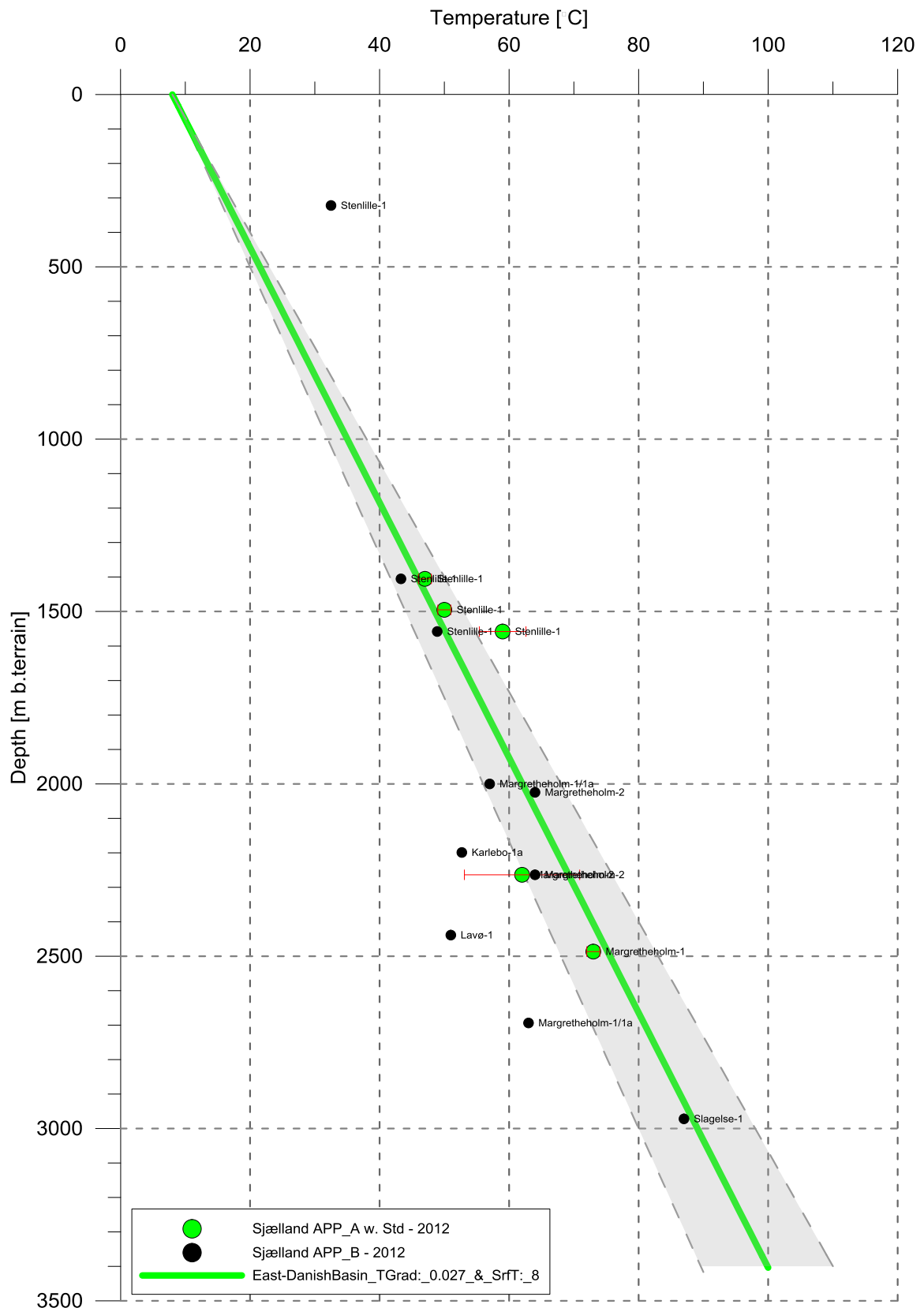
#### 5.2.4 Transmissivitet

Endelig er den forventede transmissivitet beregnet på baggrund af den estimerede reservoir-permeabilitet ganget med tykkelsen af Potentielt reservoirsand. Kort beskrevet er transmissiviteten beregnet som en akkumuleret værdi baseret på de enkelte log-læsninger, de foretagne vurderinger af Potentielt reservoirsand efterfulgt af en erfaringsbaseret opskalering. Transmissiviteten er således en forventet reservoir-transmissivitet; denne er vurderet til ca. 20 Darcy-meter for Margretheholm-1/1A, ca. 15 Darcy-meter for Karlebo-1/1A, ca. 111 Darcy-meter for Stenlille-1, ca. 123 Darcy-meter for Stenlille-19 og ca. 36 Darcy-meter for prognoselokaliteten. På baggrund af det tilgængelige datamateriale vurderer GEUS, at usikkerheden på den forventede transmissivitet mest hensigtsmæssigt kan beskrives ved hjælp af en dividere/gange faktor på 6 (svarende til at dividere, henholdsvis multiplicere, den estimerede transmissivitet med denne faktor). Faktoren inde-

holder en samlet usikkerhed knyttet til permeabiliteten og tykkelsen af Potentielt reservoir sand samt til ekstrapolering af boringsdata til prognoselokaliteten.

### **5.3 Temperatur**

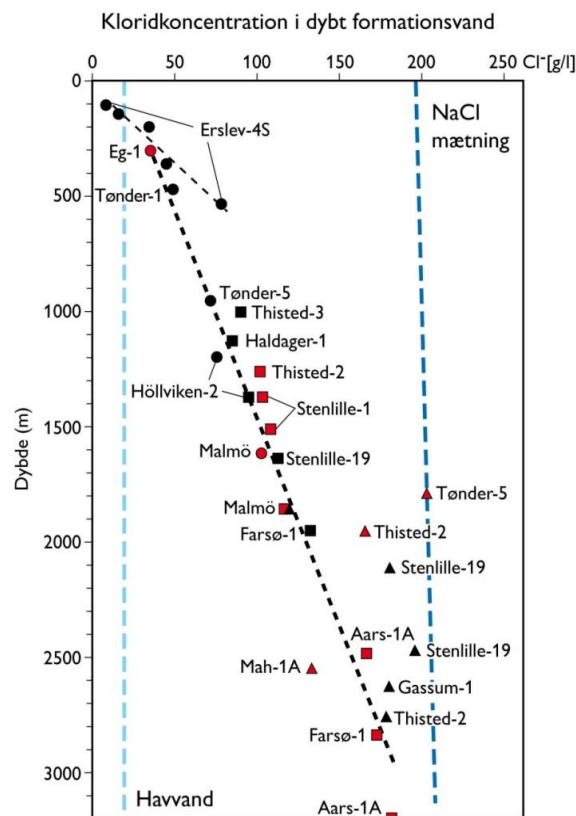
Temperaturen i midten af Gassum Formationen ved prognoselokaliteten er vurderet til ca.  $52\text{ °C} \pm 10\%$  ud fra en generel dybde-temperatur relation for det Danske Bassin. Relationen baserer sig på temperaturmålinger i dybe boringer i bassinet og er givet ved:  $\text{Temp.} = 0,027 \cdot \text{dybde} + 8\text{ °C}$  (Figur 12). Ved prognoselokaliteten er dybden i ligningen sat til 1624 meter og er baseret på den estimerede dybde fra havniveau til toppen af formationen (1510 meter; se Tabel 3.1) tillagt terrænkote (51 meter) og estimerede antal meter fra top til centrum af formationen (ca. 63 meter).



Figur 12: Estimeret dybde-temperatur relation (grønne linje) for den østlige del af det Danske Bassin baseret på alle relevante temperaturdata fra dybe brønde på Sjælland (Poulsen et al. 2013). Endvidere er der vist et usikkerhedsbånd på  $\pm 10\%$  (gråt område).

## 5.4 Salinitet

Ud fra målinger af kloridkoncentrationen i forskellige dybe brønde er der udarbejdet en generel relation mellem dybden og kloridkoncentrationen for formationer, der ikke overlejres af saltlag (Figur 13). Ud fra relationen må der forventes en kloridkoncentration på omkring 108 g/l i en dybde af 1624 meter under terræn svarende til ca. midten af Gassum Formationen ved prognoselokaliteten. Kloridkoncentrationen er dermed væsentlig lavere end mætningspunktet for NaCl, der ligger på omkring 202 g/l  $\text{Cl}^-$  ved den pågældende formationstemperatur/-dybde. Alvorlige problemer med saltudfældning som følge af afkøling i et geotermisk anlæg forventes kun, hvis formationsvandet er helt tæt på mætning med NaCl.



Figur 13: Saltholdigheden i dybt formationsvand givet ved kloridkoncentrationen. Klorid-analyserne er foretaget på vandprøver indsamlet i forbindelse med prøvepumpninger (rød signatur) eller vandprøver fra kerner eller andet (sort signatur). Med sort stiplede linje er der vist en tilnærmet lineær relation mellem dybde og kloridkoncentrationen baseret på analyser af vandprøver fra formationer, der ikke overlejres af saltlag. En enkelt undtagelse er dog vandanalysen fra Tønder-5 (rød trekant), der viser mættede saltforhold, og som er medtaget til sammenligning. Vandprøven er fra Bunter Sandsten Formationen, som i Tønder området overlejrer Zechstein salt og selv overlejres af Röt salt. Den mørkeblå stiplede linje angiver ved hvilke kloridkoncentrationer i dybden, der kan forventes mættede forhold. Den lyseblå stiplede linje er ikke dybderelateret, men angiver kloridkoncentrationen i havvand og er medtaget som sammenligningsgrundlag. Trias (▲), Jura inkl. yngste Trias (■), Kridt-Tertiær (●).

## 6. Referencer

Ahlberg, A. 1994: Deposition and diagenesis of the Rhaetian-Hettangian succession (Triassic-Jurassic) in southern Sweden. *Lund Publications in Geology* 123, 1–56.

Bertelsen, F. 1978: The Upper Triassic – Lower Jurassic Vinding and Gassum Formations of the Norwegian–Danish Basin. *Danmarks Geologiske Undersøgelse Serie B, Nr. 3*, 26 pp.

Datalog Technology 2000: Stenlille-19. End of well report.

DGU 1981: Stenlille-1. Geological well completion report.

DONG 2003: Margretheholm-1/1A. Final well report.

Hamberg, L. & Nielsen, L.H. 2000: Shingled, sharp-based shoreface sandstones: depositional response to stepwise forced regression in a shallow basin, Upper Triassic Gassum Formation, Denmark. In: Hunt, D. & Gawthorpe, R.L. (eds): *Sedimentary Responses to Forced Regressions*. Geological Society, London, Special Publications, 172, 69–89.

Hjuler, M.L., Erlström, M., Lindström, S., Nielsen, L.H., Kristensen, L., Mathiesen, A. & Bidstrup, T. 2014: Extended evaluation of possible geothermal reservoirs in the Helsingør area including geological data from Helsingør and Øresund. Contribution to an evaluation of the geothermal potential. *Danmarks og Grønlands Geologiske Undersøgelse Rapport 2014/29*.

Mathiesen, A., Kristensen, L., Nielsen, C.M., Weibel, R., Hjuler, M.L., Røgen, B., Mahler, A. & Nielsen, L.H. 2013: Assessment of sedimentary geothermal aquifer parameters in Denmark with focus on transmissivity. *European Geothermal Congress 2013, Pisa, 3–7 June 2013*.

Mathiesen, A., Nielsen, L.H., Bidstrup, T. & Johannessen, P.N. 2001: Geotermiske reservoirer i Storkøbenhavn, Geologisk prognose ved 7 udvalgte lokaliteter. *Danmarks og Grønlands Geologiske Undersøgelse Rapport 2001/60*.

Mathiesen, A., Rasmussen, R., Bidstrup, T., Kristensen, L., Laier, T. & Nielsen, L.H. 2014: Seismic quality control, interpretation, mapping and assessment of the geothermal potential in the Hillerød area, Northeastern Zealand. Contribution to an evaluation of the geothermal potential. *Danmarks og Grønlands Geologiske Undersøgelse Rapport 2014/35*.

Michelsen, O. & Bertelsen, F. 1979: Geotermiske reservoirformationer i den danske lagserie. *Danmarks Geologiske Undersøgelse, Årbog 1978*, 151–164.

Michelsen, O., Nielsen, L.H., Johannessen, P.N., Andsbjerg, J. & Surlyk, F. 2003: Jurassic lithostratigraphy and stratigraphic development onshore and offshore Denmark. In: Ineson, J.R. & Surlyk, F. (eds): *The Jurassic of Denmark and Greenland*. Geological Survey of Denmark and Greenland Bulletin 1, 147–216.



Nielsen, L.H., 2003: Late Triassic – Jurassic development of the Danish Basin and the Fennoscandian Border Zone, southern Scandinavia. In: Ineson, J.R. & Surlyk, F. (eds): The Jurassic of Denmark and Greenland. Geological Survey of Denmark and Greenland Bulletin 1, 459–526.

Poulsen, S.E., Balling, N. & Nielsen, S.B. 2013: Analysis of bottom hole temperatures on – and nearshore Denmark. Progress report, Department of Geoscience, Aarhus University, 22 pp.

Skovgaard Nielsen, L., Keulen, N., Kristensen, L., Therkelsen, J., Nielsen, L.H. & Mathiesen, A. 2014: Karlebo-1A: Investigation of cuttings samples from the Lower Cretaceous, Lower Jurassic and Gassum Formation. Danmarks og Grønlands Geologiske Undersøgelse Rapport 2014/1.

Tethys Oil Denmark 2007: Karlebo-1/1A. Final well report (Geology).

Vejbæk, O.V. & Britze, P. 1994: Geologisk kort over Danmark/Geological map of Denmark 1:750.000. Top præ-Zechstein/Top pre-Zechstein. Danmarks Geologiske Undersøgelse Kortserie, 45, 9 pp.